

บทที่ 4

ผลการศึกษา

4.1 เงื่อนไขที่เหมาะสมในการกำจัดโคโรเนียมในน้ำเสื้อสังเคราะห์

การศึกษาเงื่อนไขที่เหมาะสมในการกำจัดโคโรเนียมในน้ำเสื้อสังเคราะห์ ความเข้มข้น 100 มิลลิกรัมต่อลูกบาศก์เคลือบเม็ด โดยทดลองแบบเงื่อนไข พีเอช และ อุณหภูมิ ต่าง ๆ เงื่อนไขที่ปรับคือ พีเอช 9, 10, 11 อุณหภูมิ 60, 65, 70 องศาเซลเซียส ทำการศึกษา การกำจัดโคโรเนียม 100 มิลลิกรัมต่อลูกบาศก์เคลือบเม็ด ทุก ๆ เงื่อนไขโดยการบันทึกการเปลี่ยนแปลงค่า Oxidation Reduction Potential (ORP) ขณะเป้าอากาศเนื่องจากปฏิกิริยาออกซิเดชัน ค่า ORP เป็นค่าคงที่เมื่อปฏิกิริยาออกซิเดชันลิ้นสุดลงจังหวะเป้าอากาศ และบันทึกสีของน้ำ ลักษณะของน้ำ สีสังเคราะห์ได้จากการบานการเพอร์ไวน์ ทำการกรองแยกของกอนและน้ำส่วนไสออกจากกัน

น้ำส่วนไสไปทดสอบประสิทธิภาพในการกำจัดโคโรเนียม โดยวิเคราะห์ทางปรินามิตรเมื่อกรองเหลืออยู่ด้วยวิธีเคราะห์ Atomic Absorption Spectrophotometry (AAS) จากผลการทดสอบหาระดับโคโรเนียม ในน้ำส่วนไส พบว่า ทุกเงื่อนไข (พีเอช 9 ถึง 11, อุณหภูมิ 60 ถึง 70 องศาเซลเซียส) ให้ประสิทธิภาพในการกำจัดโคโรเนียม 100 % คือ ตราจไม่พบโคโรเนียมในน้ำส่วนไส ผลการทดสอบได้แสดงรายการดังนี้ในตารางที่ 4.1

น้ำของกอนที่กรองแยกจากน้ำส่วนไส ชิ้งสังเคราะห์ได้จากการบานการเพอร์ไวน์ ทุกเงื่อนไขไปทดสอบมีความเป็นสารแม่เหล็กด้วยวิธีเคราะห์ X-ray powder diffraction ผลการวิเคราะห์ พบว่า เงื่อนไขที่ให้ของกอนที่มีความเป็นแม่เหล็กสูงคือ พีเอช 10 อุณหภูมิ 70 องศาเซลเซียส และ พีเอช 11 อุณหภูมิ 65 องศาเซลเซียส เนื่องจากที่เงื่อนไขดังกล่าวให้

X-ray diffraction pattern ที่มีความสูงของ X-ray diffraction peak ที่ $2\theta = 35.4$ ซึ่งเป็น peak ของ 100 % แมกนีไซต์ (magnetite, $\text{Fe}^{2+}\text{O}.\text{Fe}^{3+}\text{O}_3$) มีค่าเป็น 2.3 หน่วย และ 2.35 หน่วยความลับ และที่เงื่อนไขนี้จะให้เกอไธต์ (Goethite, FeOOH) ปรากฏต่อที่สุด (peak Goethite แสดงดังลูกศรในรูปที่ 4.1) ผลการวิเคราะห์ด้วย X-ray powder diffraction แสดงในตารางที่ 4.1 รูปที่ 4.1 และรูปที่ 4.2

ในการศึกษาครั้งนี้พบว่าทุกเงื่อนไข (พีเอช 9 ถึง 11, อุณหภูมิ 60 ถึง 70 องศาเซลเซียส) ให้ประสิทธิภาพในการกำจัดโลหะหนักchromium 100 % โดยที่เงื่อนไข พีเอช 9 อุณหภูมิ 60 องศาเซลเซียส เป็นเงื่อนไขที่ใช้ปริมาณสารเคมี NaOH ในการปรับพีเอชของปฏิกิริยาในกระบวนการเฟอร์ไรท์ต่ำกว่าเงื่อนไขที่พีเอช 10 และ 11 และใช้ความร้อนในการปรับอุณหภูมิของปฏิกิริยาต่ำกว่าเงื่อนไขที่อุณหภูมิ 65 และ 70 องศาเซลเซียส แต่จะถอนที่สังเคราะห์ได้จากเงื่อนไข พีเอช 9 อุณหภูมิ 60 องศาเซลเซียส มีความเป็นสารแม่เหล็กต่ำกว่า (แสดงว่าได้สารประกอบอิน นอกเหนือจากคลอกอนเฟอร์ไรท์, Fe_3O_4)

คลอกอนที่สังเคราะห์จากเงื่อนไข พีเอช 10 อุณหภูมิ 70 องศาเซลเซียส และ พีเอช 11 อุณหภูมิ 65 องศาเซลเซียส ค่าความเป็นแม่เหล็กของคลอกอนมีค่าสูง จึงทำให้มีประสิทธิ์ในการแยกคลอกอนออกจากส่วนใส โดยใช้ร่างแม่เหล็กໄด้จ่ายและรวมเริ่ว นอกเหนือนั้น ความเป็นแม่เหล็กของคลอกอนสั้น มีคุณค่าและคุณประสิทธิ์ในเชิงวัสดุศาสตร์ สามารถนำมาระบุค ใช้ประโยชน์ต่าง ๆ ได้อีก

ดังนั้นเงื่อนไขที่เหมาะสมในการกำจัดchromium ในน้ำเสียสังเคราะห์ความเข้มข้น 100 มิลลิกรัมต่อลูกบาศก์ เครื่องกระบวนการเฟอร์ไรท์คือ เงื่อนไขที่ พีเอช 10 อุณหภูมิ 70 องศาเซลเซียส และ พีเอช 11 อุณหภูมิ 65 องศาเซลเซียส เนื่องจากเป็นเงื่อนไขที่ให้คลอกอนเฟอร์ไรท์สูงที่สุด โดยที่อ่อนโลหะหนัก Cr^{3+} เข้าไปแทนที่อ่อนเหล็กในสารประกอบ $\text{Fe}^{2+}\text{O}.\text{Fe}^{3+}\text{O}_3$ ในโครงสร้างผลิตได้สไปเนลเฟอร์ไรท์ ซึ่งเป็นคลอกอนที่เสื่อมมากในสภาพธรรมชาติ และยังสามารถนำมาระบุค ใช้ประโยชน์ได้อีก (waste utilization)

ตัวอย่างการเปลี่ยนแปลงค่า ORP หลังการกำจัดน้ำเสียสังเคราะห์chromium 100 มิลลิกรัมต่อลูกบาศก์ เครื่อง ที่เงื่อนไข พีเอช 10 อุณหภูมิ 70 องศาเซลเซียส และ พีเอช 11 อุณหภูมิ 65 องศาเซลเซียส แสดงในตารางที่ 4.2 รูปที่ 4.3 และตารางที่ 4.3 รูปที่ 4.4

ตารางที่ 4.1 สรุปผลการสำจัดยาเม็ดความเข้มข้น 100 มิลลิกรัมต่อลูกบาศก์เคลื่อนเมตร ด้วยกระบวนการเพอร์ไอกซ์ไตรอฟท์เจือนไข่ต่างๆ

พิเศษ	อุณหภูมิ (°C)	ORP (มิลลิโวลต์)	เวลาถักเก็บ (นาที)	สี	ลักษณะ	ความสูงของพื้นใน X-ray (หน่วย)	ความเข้มข้นเหล็กกำจัด (มก./ลบ.ม.)	ประสิทธิภาพ การกำจัด(%)
9	60	-895 ถึง -430	17	ดำ	หนา	1.7	0	100
9	65	-639 ถึง -76	7	ดำ	หนา	1.0	0	100
9	70	-840 ถึง -450	19	ดำ	หนา	0.85	0	100
10	60	-612 ถึง -144	11	ดำ	หนา	1.0	0	100
10	65	-557 ถึง -98	13	ดำ	หนา	2.1	0	100
10	70	-607 ถึง -236	19	ดำ	หนา	2.3	0	100
11	60	-735 ถึง -239	11	ดำ	หนา	0.85	0	100
11	65	-659 ถึง -245	11	ดำ	หนา	2.35	0	100
11	70	-740 ถึง -408	16	ดำ	หนา	1.15	0	100

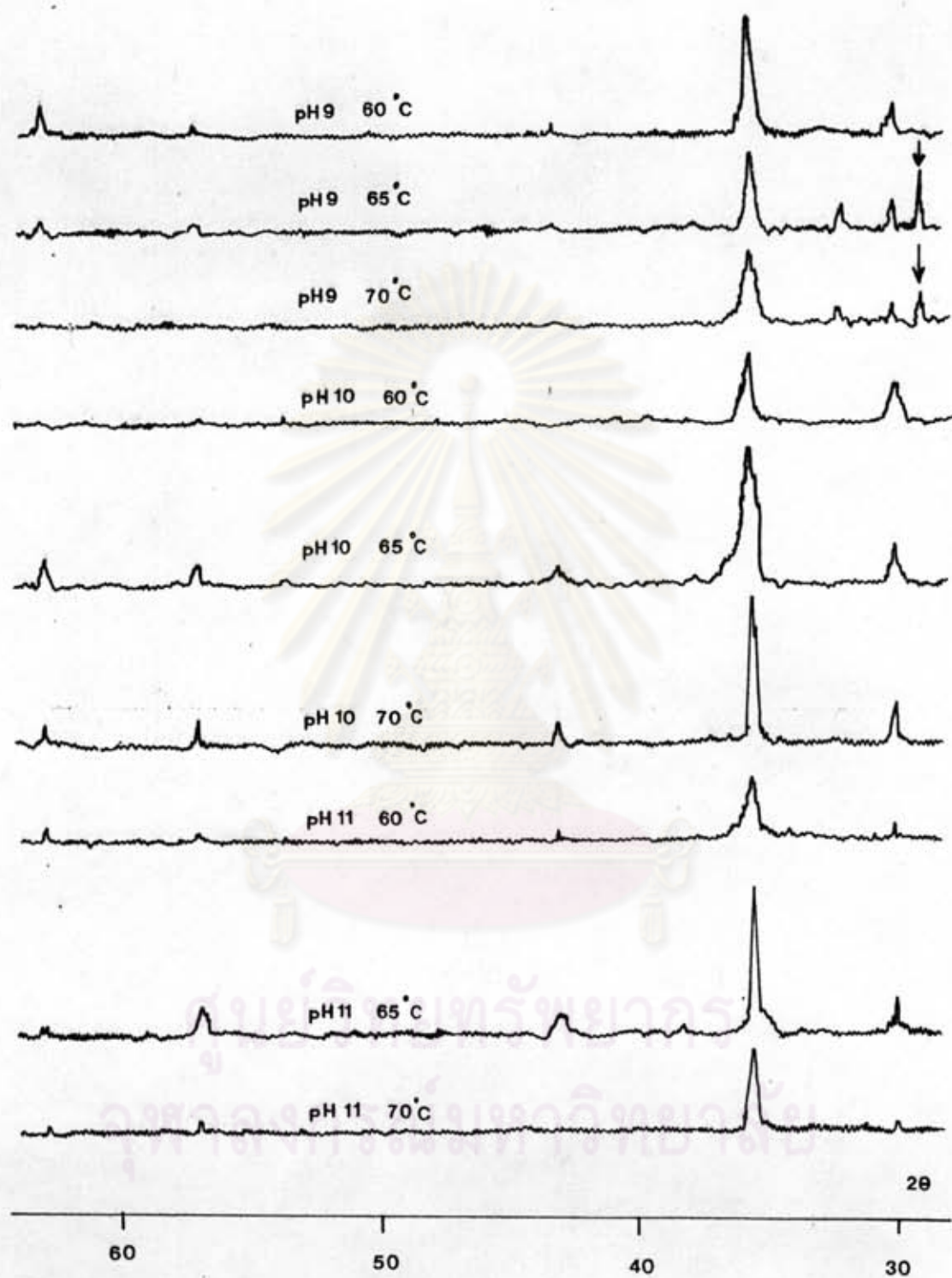
หมายเหตุ เวลาถักเก็บ (retention time) หมายถึง ช่วงเวลาที่คงค่า ORP เริ่มต้นท่ามกลางการทั่งถังจะถูกทำการเปลี่ยนแปลงอย่างฉับพลัน

ORP

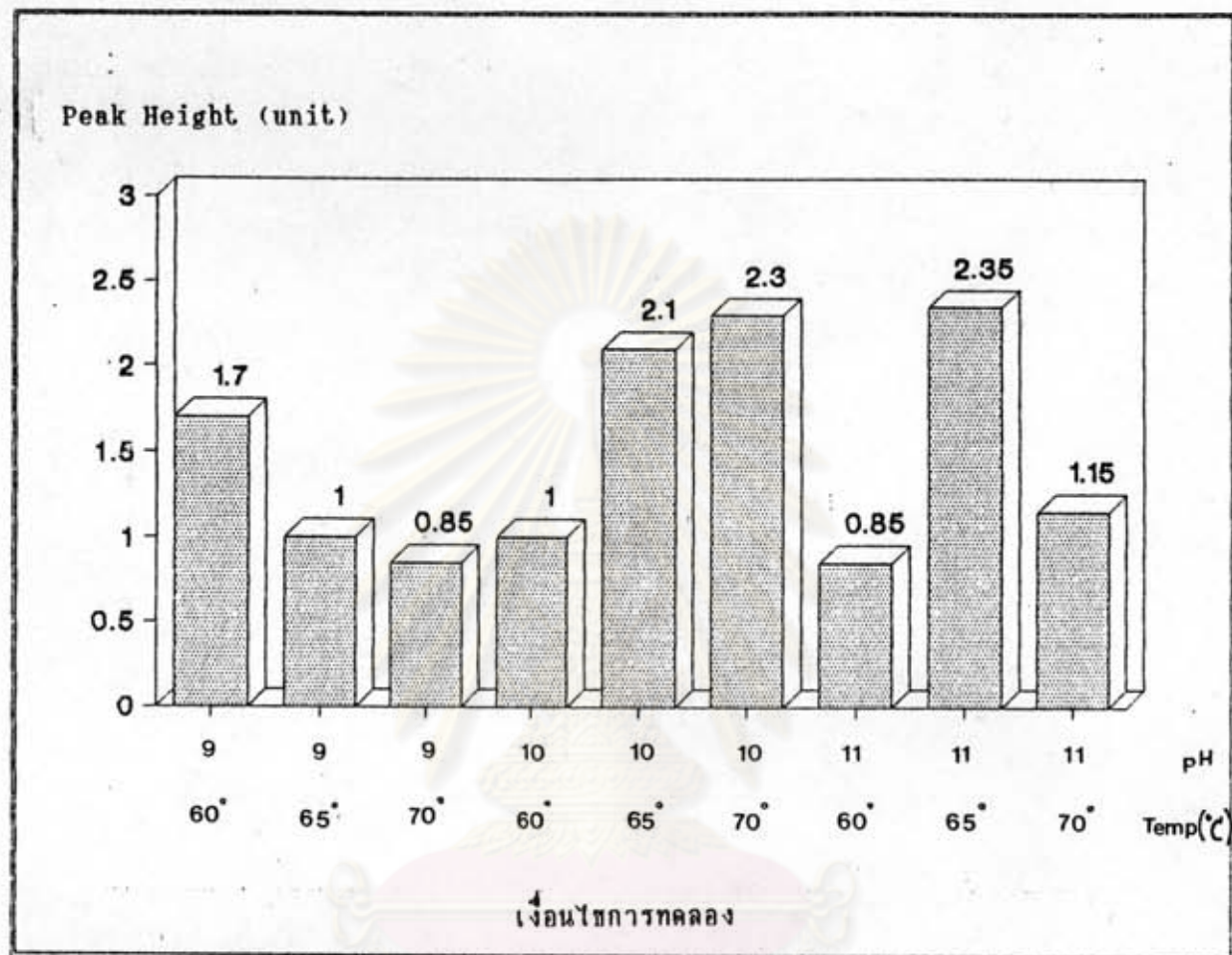
หมายถึง Oxidation Reduction Potential

ความสูงของพื้นใน X-ray

หมายถึง ความสูงของพื้นใน X-ray Diffraction patterns ที่ค่าเท่านั้น 2θ = 35.4



รูปที่ 4.1 X-ray Diffraction Patterns ของเซลล์จากการกำจัดโคโรเนียมด้วยกระบวนการเพอร์ออกไซด์เจลในไข่ต่าง ๆ

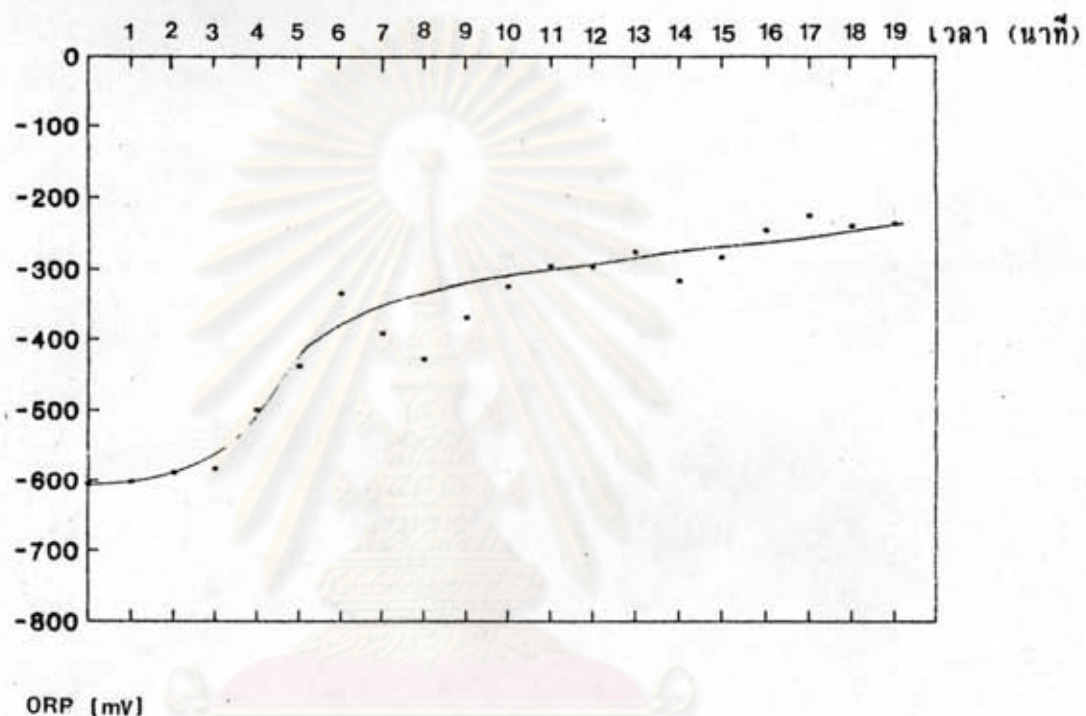


ศูนย์วิทยทรัพยากร
จุฬาลงกรณ์มหาวิทยาลัย

รูปที่ 4.2 ความสูงของ X-ray Diffraction Peak ที่ค่าเห็น 2 θ = 35.4
ของจะก่อนจากการกำจัดไครเนียมด้วยกระบวนการเผอไรท์ที่เงื่อนไขดัง ๆ

ตารางที่ 4.2 การเปลี่ยนแปลงค่า Oxidation Reduction Potential ของการกำจัด
โคโรเนียม 100 มก./ลบ.ม. ที่ pH 10, อุณหภูมิ 70 องศาเซลเซียส,
 $\text{FeSO}_4 \cdot 7\text{H}_2\text{O}$ 14.4 กรัม

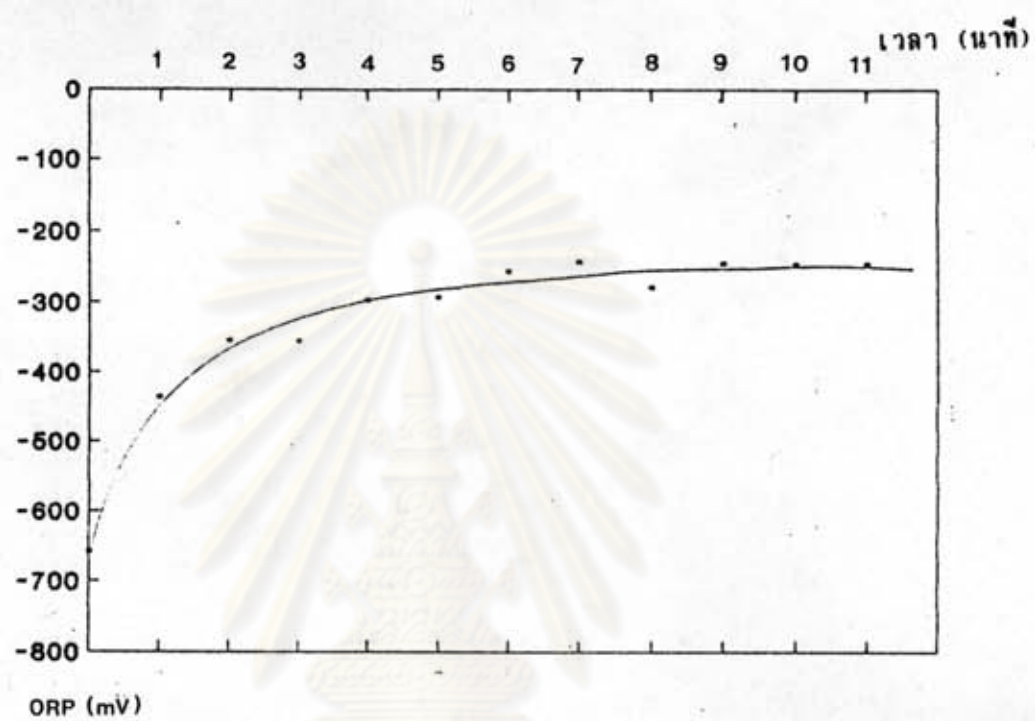
Time (min)	ORP (mV)	pH
0	-607	10.15
1	-604	10.15
2	-590	10.16
3	-584	10.17
4	-500	10.15
5	-440	10.11
6	-335	10.08
7	-392	10.07
8	-429	10.04
9	-370	10.00
10	-325	9.99
11	-295	9.98
12	-297	9.97
13	-276	9.97
14	-317	9.98
15	-284	9.97
16	-245	9.95
17	-226	9.95
18	-239	9.94
19	-236	9.92



รูปที่ 4.3 แสดงการเปลี่ยนแปลงค่า Oxidation Reduction Potential ของการกำจัด
โครเมียม 100 มก./ลบ.คม. ด้วยกระบวนการเพื่อไวรัส ผ่านชั้น 10 อุณหภูมิ 70 °C

ตารางที่ 4.3 การเปลี่ยนแปลงค่า Oxidation Reduction Potential ของการกำจัด
โคโรเนียม 100 มก./ลบ.ม. ที่พื้นที่ 11, อุณหภูมิ 65 องศาเซลเซียส,
 $\text{FeSO}_4 \cdot 7\text{H}_2\text{O}$ 14.4 กรัม

Time (min)	ORP (mV)	pH
0	-659	11.25
1	-437	11.23
2	-355	11.20
3	-356	11.27
4	-297	11.25
5	-292	11.22
6	-257	11.21
7	-242	11.20
8	-279	11.17
9	-244	11.16
10	-246	11.15
11	-245	11.16



รูปที่ 4.4 แสดงการเปลี่ยนแปลงค่า Oxidation Reduction Potential ของกราก้าจัด
โดยเนื้อหาม 100 มก./ลบ.คม. ด้วยกระบวนการเพอร์ออกไซด์ พีเอช 11 อุณหภูมิ 85 °C

4.2 เงื่อนไขที่เหมาะสมในการกำจัดนิเกิลในน้ำเสียสังเคราะห์

การศึกษาเงื่อนไขที่เหมาะสมในการกำจัดนิเกิลในน้ำเสียสังเคราะห์ ความเข้มข้น 100 มิลลิกรัมต่อลูกบาศก์เคลือบเม็ด ไดออกซ์อลองแปรเงื่อนไข พีเอช และ อุณหภูมิ ค่า ฯ เงื่อนไขที่ปรับคือ พีเอช 9, 10, 11 อุณหภูมิ 60, 65, 70 องศาเซลเซียส ทำการศึกษา การกำจัดนิเกิล 100 มิลลิกรัมต่อลูกบาศก์เคลือบเม็ด ทุก ฯ เงื่อนไข ได้ทำการบันทึกการเปลี่ยนแปลงค่า Oxidation Reduction Potential (ORP) ขณะเป้าอากาศเนื่องจากปฏิกิริยาออกซิเดชัน ค่า ORP เป็นอัตราการเปลี่ยนแปลงของพลัง磁ะเกิดปฏิกิริยาออกซิเดชันในการทดลอง (reaction vessel) และ ORP มีค่าคงที่เมื่อบริการทดสอบแล้วคงจังหวะเป้าอากาศ และบันทึกสีของก้อน ลักษณะของก้อน ที่สังเคราะห์ได้จากการบันทึกการทดลองและก้อนและน้ำส่วนไส้ออกจากกัน

น้ำส่วนไสไปทดสอบประสิทธิภาพในการกำจัดนิเกิล ได้รับเคราะห์ท่าปฏิมาตันิเกิลที่อาจหลงเหลืออยู่ด้วยวิธีเคราะห์ Atomic Absorption Spectrophotometry (AAS) จากผลการทดสอบหนานิเกิล ในน้ำส่วนไส พบว่า ทุกเงื่อนไข (พีเอช 9 ถึง 11, อุณหภูมิ 60 ถึง 70 องศาเซลเซียส) ให้ประสิทธิภาพในการกำจัดได้หนักนิเกิล 100 % คือ ควรจะไม่บนนิเกิลในน้ำส่วนไส ผลการทดสอบได้แสดงรายละเอียด ในตารางที่ 4.4

น้ำส่วนไสที่กรองแยกจากน้ำส่วนไส ชิ้งสังเคราะห์ได้จากการบันทึกการทดลองทุกเงื่อนไขไปทดสอบบดความเป็นสารแม่เหล็กด้วยวิธีเคราะห์ X-ray powder diffraction ผลการวิเคราะห์ พบว่า เงื่อนไขที่ให้ผลก้อนที่มีความเป็นแม่เหล็กสูงคือ พีเอช 10 อุณหภูมิ 70 องศาเซลเซียส และ พีเอช 11 อุณหภูมิ 70 องศาเซลเซียส เนื่องจากที่เงื่อนไขดังกล่าวให้ X-ray diffraction pattern ที่มีความสูงของ X-ray diffraction peak ที่ $2\theta = 35.4$ ซึ่งเป็น peak ของ 100 % แมกนีไซท์ (magnetite, $\text{Fe}^{2+}\text{O} \cdot \text{Fe}^{3+}\text{O}_3$) มีค่าเป็น 2.05 หน่วย และ 2.2 หน่วยตามลำดับ ผลการวิเคราะห์ด้วย X-ray powder diffraction แสดงในตารางที่ 4.4 รูปที่ 4.5 และรูปที่ 4.6

ในการศึกษาครั้งนี้พบว่าทุกเงื่อนไข (พีเอช 9 ถึง 11, อุณหภูมิ 60 ถึง 70 องศาเซลเซียส) ให้ประสิทธิภาพในการกำจัดโลหะหนักนิเกิล 100 % โดยที่เงื่อนไข พีเอช 9 อุณหภูมิ 60 องศาเซลเซียส เป็นเงื่อนไขที่ใช้ปริมาณสารเคมี NaOH ในการปรับพีเอชของปฏิกิริยาในกระบวนการเฟอร์ไรท์ค่ากว่าเงื่อนไขที่พีเอช 10 และ 11 และใช้ความร้อนในการปรับอุณหภูมิของปฏิกิริยาค่ากว่าเงื่อนไขที่อุณหภูมิ 65 และ 70 องศาเซลเซียส แต่จะถอนที่สังเคราะห์ได้จากเงื่อนไข พีเอช 9 อุณหภูมิ 60 องศาเซลเซียส มีความเป็นสารแม่เหล็กค่ากว่า

จะถอนที่สังเคราะห์จากเงื่อนไข พีเอช 10 อุณหภูมิ 70 องศาเซลเซียส และ พีเอช 11 อุณหภูมิ 70 องศาเซลเซียส ค่าความเป็นแม่เหล็กของตะกอนนี้ค่าสูง จึงทำให้มีประสิทธิ์ในการแยกตะกอนออกจากส่วนไส โดยใช้แรงแม่เหล็กได้ง่ายและรวดเร็ว นอกจากนั้นความเป็นแม่เหล็กของตะกอนยังมีคุณค่าและคุณประสิทธิ์ในเชิงวัสดุศาสตร์ สามารถนำมายังประโยชน์ที่ใช้ประโยชน์ต่าง ๆ ได้อีก

ดังนั้นเงื่อนไขที่เหมาะสมในการกำจัดนิเกิล ในน้ำเสียสังเคราะห์ ความเข้มข้น 100 มิลลิกรัมต่อลูกบาศก์เคลื่อนตัว โดยกระบวนการเฟอร์ไรท์คือ เงื่อนไขที่ พีเอช 10 อุณหภูมิ 70 องศาเซลเซียส และ พีเอช 11 อุณหภูมิ 65 องศาเซลเซียส เนื่องจากเป็นเงื่อนไขที่ให้ตะกอนเฟอร์ไรท์สูงที่สุด โดยที่อ่อนโลหะหนัก Ni^{2+} เข้าไปแทนที่อ่อนเหล็กในสารประกอบ $Fe^{2+}O \cdot Fe^{3+}O_3$ ในโครงสร้างผลึกได้สถาปัตย์และเพอร์ไรท์ ซึ่งเป็นตะกอนที่เสียหายมากในสภาพธรรมชาติ และยังสามารถนำมายังประโยชน์ได้อีก (waste utilization)

ตัวอย่างการเปลี่ยนแปลงค่า ORP ของการกำจัดน้ำเสียสังเคราะห์ที่นิเกิล 100 มิลลิกรัมต่อลูกบาศก์เคลื่อนตัว ที่เงื่อนไข พีเอช 10 อุณหภูมิ 70 องศาเซลเซียส และ พีเอช 11 อุณหภูมิ 70 องศาเซลเซียส แสดงในตารางที่ 4.5 รูปที่ 4.7 และตารางที่ 4.6 รูปที่ 4.8

ตารางที่ 4.4 สรุปผลการกำจัดนิเกิลความเข้มข้น 100 มิลลิกรัมต่อลูกบาศก์โดยเม็ดยา หัวกระบวนการการเผาต่อไนโตริกที่เปลี่ยนไปทางๆ

พีเอช	อัตราณิวัติ	ORP (มิลลิโวลต์)	เวลาถักเก็บ (นาที)	สี	ลักษณะ	ความสูงของพื้นดิน X-ray (หน่วย)	ความเข้มข้นเหล็กกำจัด (มก./ลบ.ม.)	ประสิทธิภาพ การกำจัด(%)
9	60	-679 ± 4 -442	11	ดำ	หนัก	1.6	0	100
9	65	-709 ± 4 -144	13	ดำ	หนัก	1.9	0	100
9	70	-787 ± 4 - 5	8	ดำ	หนัก	1.8	0	100
10	60	-756 ± 4 -206	11	ดำ	หนัก	1.9	0	100
10	65	-766 ± 4 -260	13	ดำ	หนัก	1.85	0	100
10	70	-697 ± 4 -125	10	ดำ	หนัก	2.05	0	100
11	60	-645 ± 4 -359	13	ดำ	หนัก	1.6	0	100
11	65	-788 ± 4 -270	9	ดำ	หนัก	1.9	0	100
11	70	-773 ± 4 -141	10	ดำ	หนัก	2.2	0	100



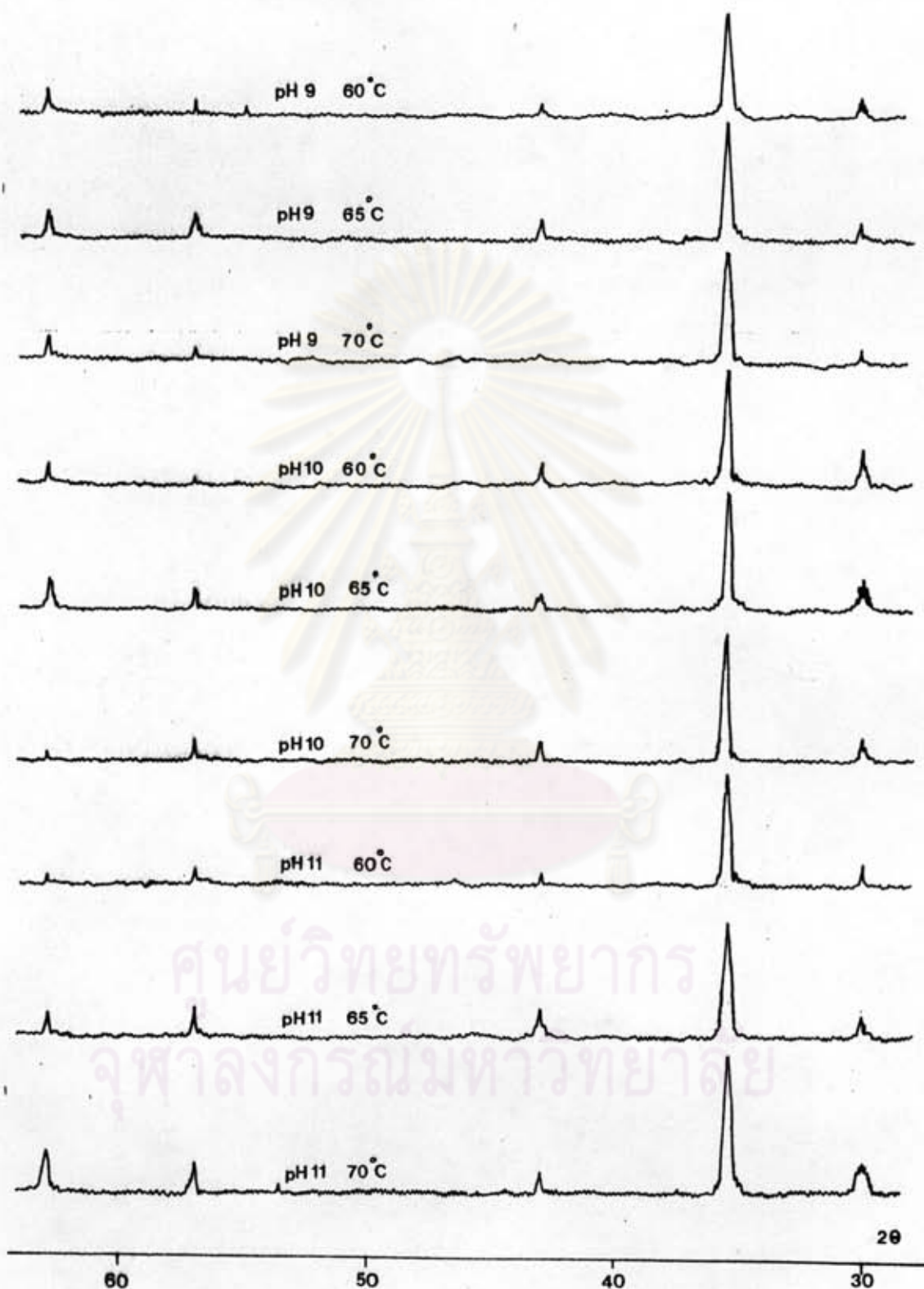
หมายเหตุ เวลาถักเก็บ (retention time) หมายถึง ช่วงเวลาต้องแต่รุดเพื่อผ่านกระบวนการที่ต้องใช้การเปลี่ยนแปลงอย่างฉับพลัน

ORP

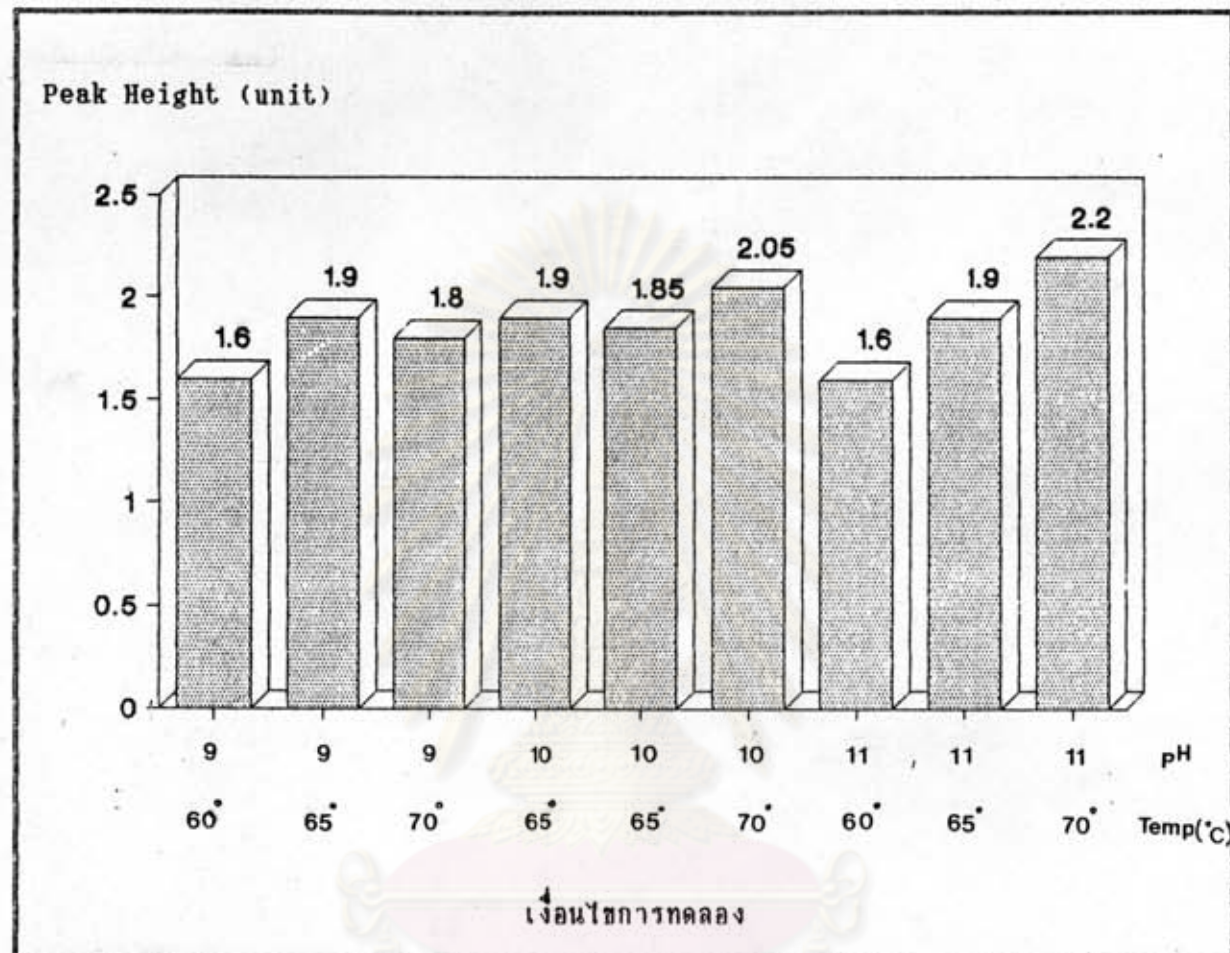
หมายถึง Oxidation Reduction Potential

ความสูงของพื้นดิน X-ray

หมายถึง ความสูงของพื้นดิน X-ray Diffraction patterns ที่มุม 2θ = 35.4



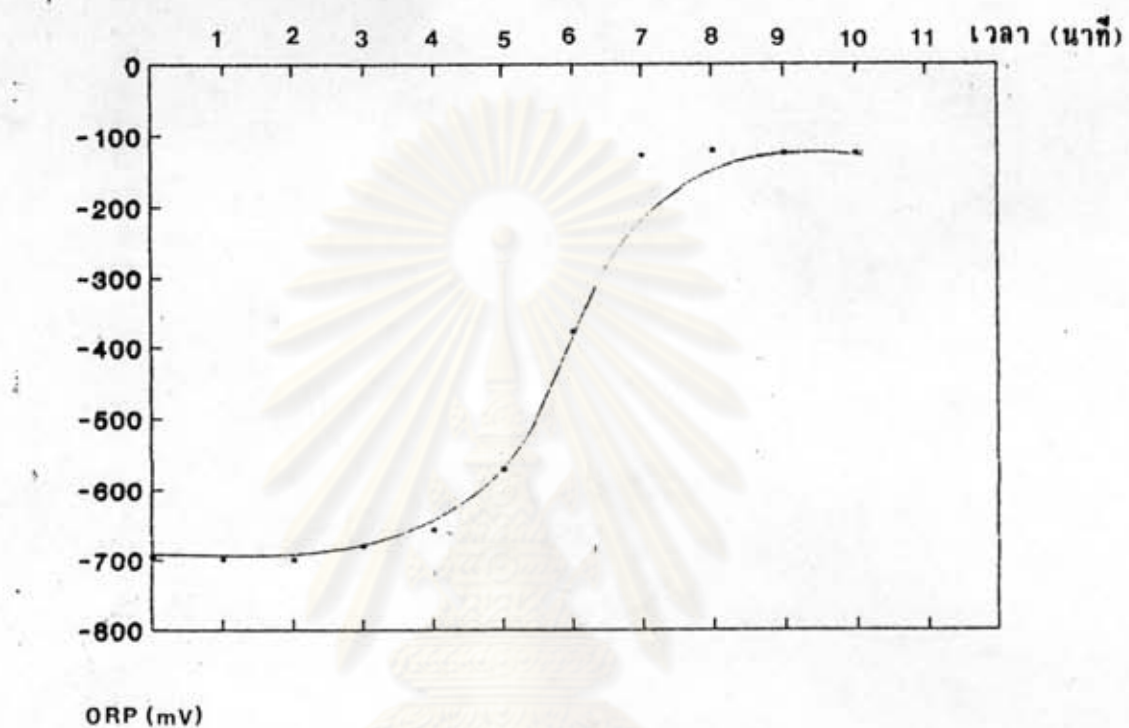
รูปที่ 4.5 X-ray Diffraction Patterns ของอะกอนจากการก่อจัดนิเกิลค์ช์
กระบวนการเฟอร์ไรต์ที่เงื่อนไขต่าง ๆ



รูปที่ 4.6 ความสูงของ X-ray Diffraction Peak ที่ค่าแทน $2\theta = 35.4$
ของเซลล์จาก การกำจัดนิเกิลด้วยกระบวนการเผอร์ไซท์เงื่อนไขดัง ฯ

ตารางที่ 4.5 การเปลี่ยนแปลงค่า Oxidation Reduction Potential ของกากจำจัด
นิเกิล 100 มก./ลบ.ม. ที่พีเอช 10, อุณหภูมิ 70 องศาเซลเซียส,
 $\text{FeSO}_4 \cdot 7\text{H}_2\text{O}$ 14.4 กรัม

Time (min)	ORP (mV)	pH
0	-697	10.40
1	-700	10.40
2	-701	10.36
3	-680	10.35
4	-658	10.32
5	-571	10.30
6	-378	10.25
7	-127	10.23
8	-122	10.20
9	-125	10.21
10	-125	10.18

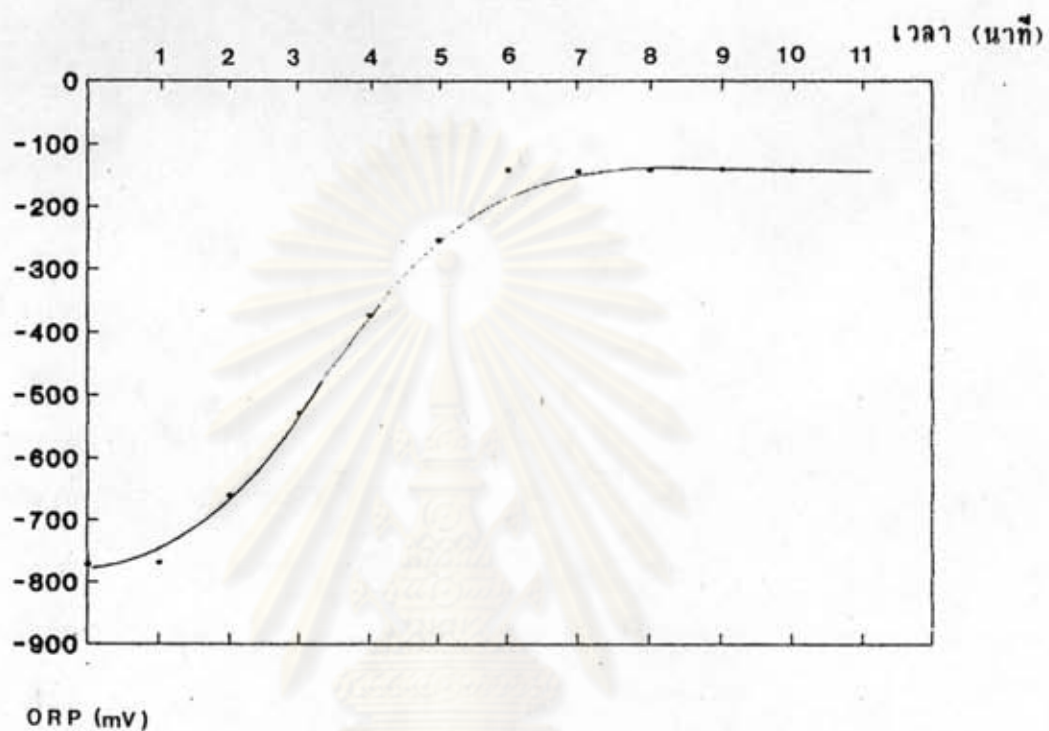


รูปที่ 4.7 แสดงการเปลี่ยนแปลงค่า Oxidation Reduction Potential ของการกำจัด
นิเกิล 100 มก./ลบ.คม. ด้วยกรดวนการเฟอร์ไบร์ท ที่อุณหภูมิ 70 °ช.

ตารางที่ 4.6 การเปลี่ยนแปลงค่า Oxidation Reduction Potential ของการกำจัด
นิเกิล 100 มก./ลบ.ม. ที่ pH 11, อัตราการ 70 องศาเซลเซียส,
 $\text{FeSO}_4 \cdot 7\text{H}_2\text{O}$ 14.4 กรัม

Time (min)	ORP (mV)	pH
0	-773	11.20
1	-770	11.20
2	-660	11.19
3	-528	11.18
4	-376	11.19
5	-254	11.17
6	-141	11.16
7	-144	11.16
8	-141	11.15
9	-140	11.16
10	-141	11.16

ศูนย์วิทยาเพื่อการ
จุฬาลงกรณ์มหาวิทยาลัย



รูปที่ 4.8 แสดงการเปลี่ยนแปลงค่า Oxidation Reduction Potential ของการกำจัด
นิเกิล 100 มก./ลบ.ม. ด้วยกรดบานการเฟอร์ไรท์ ที่ pH 11 อุณหภูมิ 70°ซ.

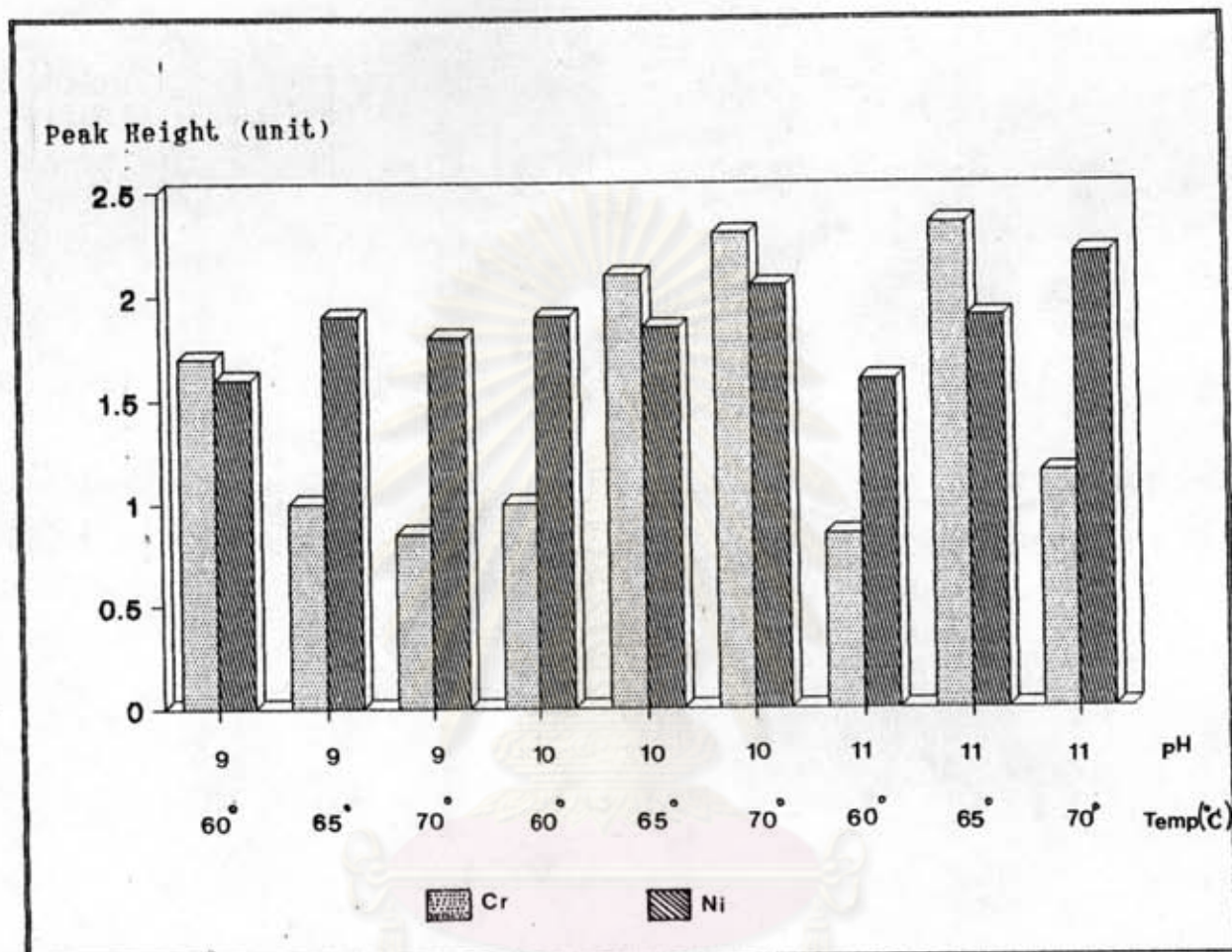
4.3 การศึกษาเงื่อนไขที่เหมาะสมสำหรับการจัดโครงเรียนและนิเกิลในน้ำเสียสังเคราะห์

จากผลการศึกษาที่แสดงในตารางที่ 4.1 พบว่า เงื่อนไขที่เหมาะสมในการจัดโครงเรียนชั้นเดียว คือ พีเอช 10 อุณหภูมิ 70 องศาเซลเซียส และ พีเอช 11 อุณหภูมิ 65 องศาเซลเซียส จากผลการศึกษาที่แสดงตารางที่ 4.4 พบว่า เงื่อนไขที่เหมาะสมในการจัดนิเกิลชั้นเดียวคือพีเอช 10 ถึง 11 อุณหภูมิ 70 องศาเซลเซียส เมื่อพิจารณาเงื่อนไขที่เหมาะสมที่สุดในการจัดโครงเรียนกับการจัดนิเกิลพร้อมกัน คือ พีเอช 10 อุณหภูมิ 70 องศาเซลเซียส เพื่อที่จะได้จัดโครงเรียนและนิเกิลพร้อม ๆ กันได้ดี

ผลการเปรียบเทียบ X-ray diffraction peak ที่ค่าแทน $2\theta = 35.4$ ระหว่างตะกอนที่สังเคราะห์จากน้ำเสียสังเคราะห์ที่มีโครงเรียนความเข้มข้น 100 มิลลิกรัมต่อลูกบาศก์เคลื่อนไหว กับตะกอนที่สังเคราะห์จากน้ำเสียสังเคราะห์ที่มีนิเกิล ความเข้มข้น 100 มิลลิกรัมต่อลูกบาศก์เคลื่อนไหว แสดงในรูปที่ 4.9

สำหรับผลการทดลองการจัดโครงเรียนและนิเกิลที่สมบันย้อนยุคจะ 100 มิลลิกรัมต่อลูกบาศก์เคลื่อนไหว พีเอช 10 อุณหภูมิ 70 องศาเซลเซียส แสดงไว้ในตารางที่ 4.8 รูปที่ 4.12 เมื่อศึกษาความเป็นสารแม่เหล็กของตะกอนเฟอร์ไรท์ได้ที่เงื่อนไขดังกล่าวด้วย X-ray powder diffraction เทียบกับตะกอนเฟอร์ไรท์ที่ได้จากแบล็ค (Blank) พบว่าพื้นของตะกอนปรากฏที่เดียวถ้วนและมีความสูงเท่ากัน และไม่พบเกอไต์เลย ดังรูปที่ 4.11

ศูนย์วิทยาทรัพยากร
จุฬาลงกรณ์มหาวิทยาลัย



รูปที่ 4.9 เปรียบเทียบความสูงของ X-ray Diffraction Peak ที่ค่า衍射 $2\theta = 35.4$ ของธาตุก่อนจากการกำจัดโคโรเนียมและนิเกิลคัวบิทกระบวนการเผอร์ไรท์ที่เงื่อนไขค่าคงที่

4.4 อัตราส่วนโนลที่เหมาะสมในการกำจัดคราเมียมและนิเกิลในน้ำเสียสังเคราะห์

การหาอัตราส่วนโนลที่เหมาะสมในการกำจัดคราเมียมและนิเกิลในน้ำเสียสังเคราะห์ โดยใช้เงื่อนไขจากข้อ 4.3 คือใช้เงื่อนไขที่พีเอช 10 อุณหภูมิ 70 องศาเซลเซียส ทำการศึกษาโดยใช้น้ำเสียสังเคราะห์ ที่มีความเข้มข้นของคราเมียมและนิเกิลต่าง ๆ กัน โดยทำการเปลี่ยนแปลงความเข้มข้นของสารละลายผสมคราเมียมและนิเกิลดังนี้ 1000, 100, 10, 5, 1, 0.5, 0.1 มิลลิกรัมต่อลูกบาศก์เมตร เก็บตัวอย่างน้ำเสียสังเคราะห์คงที่คือ 800 มิลลิกรัม และเปลี่ยนแปลงปริมาณ $\text{FeSO}_4 \cdot 7\text{H}_2\text{O}$ ที่ใช้ในการทดลองดังนี้ 3.6, 7.2, 14.4, 28.8 กรัม ทำการเปรียบเทียบผลการศึกษาระหว่างอัตราส่วนโนลต่าง ๆ กับ แบบลงค์ (Blank)

การคำนวณหาอัตราส่วนโนล ใช้สูตรดังนี้

$$A = 4.2774 \times 10^{-3} \text{ Y/X}$$

$$B = 3.7882 \times 10^{-3} \text{ Z/X}$$

เมื่อ A คือ อัตราส่วนโนลของ $\text{Cr}^{3+}/\text{Iron}_{\text{total}}$

B คือ อัตราส่วนโนลของ $\text{Ni}^{2+}/\text{Iron}_{\text{total}}$

X คือ ปริมาณ $\text{Fe}_2\text{SO}_4 \cdot 7\text{H}_2\text{O}$ เป็นกรัม ที่เติมลงไปในสารละลายเริ่มต้น

Y คือ ความเข้มข้นของคราเมียมในสารละลายเริ่มต้นเป็น มิลลิกรัมต่อลูกบาศก์เมตร

Z คือ ความเข้มข้นของนิเกิล ในสารละลายเริ่มต้นเป็น มิลลิกรัมต่อลูกบาศก์เมตร ผลการศึกษาอัตราส่วนโนลทดสอบในตารางที่ 4.7 พบว่าอัตราส่วนโนลของ $\text{Cr}^{3+}/\text{Iron}_{\text{total}}$

ตั้งแต่ 29.70×10^{-3} ถึงไป และ $\text{Ni}^{2+}/\text{Iron}_{\text{total}}$, ตั้งแต่ 26.31×10^{-3} ถึงไป หมายเหตุ

ได้จากการกำจัดด้วยกระบวนการนี้จะมีลักษณะเป็นตะกอนเป็นสีน้ำตาล และไม่เป็นสารแม่เหล็ก

แต่ถ้าอัตราส่วนโนลต่ำกว่าหนึ่งจะให้ตะกอนที่มีสีดำ น้ำตาล และมีคุณสมบัติเป็น

สารแม่เหล็ก อัตราส่วนโนลที่เหมาะสมที่สุดจากการศึกษานี้จะพบว่า

$$\text{Cr}^{3+}/\text{Iron}_{\text{total}} = 14.85 \times 10^{-3} \text{ และ } \text{Ni}^{2+}/\text{Iron}_{\text{total}} = 13.15 \times 10^{-3}$$

นิประสึกซิภาพในการกำจัดคราเมียม 100% และกำจัดนิเกิล 100% ตะกอนที่ได้ถูกคลายตัว

อ่านใจแม่เหล็ก ทำให้สังเคราะห์ในกระบวนการแยกออกจากสารละลาย

ตารางที่ 4.7 สรุปผลการศึกษาอัตราส่วน Iron³⁺/Iron_{total} และ Ni²⁺/Iron_{total} ที่เหมาะสมในการกำจัดสารละลายน้ำดอง โครงการนี้และนิвелиตัวอย่างบนการเพื่อกราฟฟ์ฟาร์ท ที่อุณหภูมิ 70 ° ค
การเพื่อกราฟฟ์ฟาร์ท ที่อุณหภูมิ 70 ° ค

ปริมาณ <chem>FeSO4.7H2O</chem> (กรัม)	ความเข้มข้น(มก./ลบ.dm.)			ประสิทธิภาพ การกำจัด(%)	อัตราส่วน Iron (x10 ⁻³)		ลักษณะ ตะกอน	ลักษณะ ตะกอน	ความผิด ของพื้นที่ใน X-ray	ORP (มิลลิโวลาท)	เวลาถูกเก็บ (นาที)	
	ก่อนกำจัด	หลังกำจัด			Cr ³⁺ / Iron _{total}	Ni ²⁺ / Iron _{total}						
	Cr ³⁺ , Ni ²⁺	Cr ³⁺	Ni ²⁺	Cr ³⁺	Ni ²⁺							
14.4	0	-	-	-	-	0	0	คำ	หนัก	1.5	-980 บี 250	11
14.4	1000	0	0	100	100	297.04	263.07	น้ำตาล	เบา	-	-669 บี 213	19
28.8	1000	0	0	100	100	148.52	131.54	น้ำตาล	เบา	0.7	-782 บี 245	19
3.6	100	0.6	0.05	99.4	99.95	118.82	105.23	น้ำตาล	เบา	0.2	-666 บี 2	20
7.2	100	0.2	0	99.8	100	59.41	52.61	น้ำตาล	เบา	0.4	-734 บี 75	18
14.4	100	0.02	0	99.98	100	29.70	26.31	น้ำตาล	เบา	0.4	-687 บี 125	14
28.8	100	0	0	100	100	14.85	13.15	คำ	หนัก	1.5	-742 บี 164	15

จุฬาลงกรณ์มหาวิทยาลัย

ตารางที่ 4.7 (ต่อ)

ปริมาณ $\text{FeSO}_4 \cdot 7\text{H}_2\text{O}$ (กกรัม)	ความเข้มข้น(มก./ลบ.คม.)			ประสิทธิภาพ		อัตราส่วนโพล (x10 ⁻³)		สี เหลือง	ลักษณะ เหลือง	ความสูง ของผื่นใน X-ray	ORP (มิลลิโวลต์)	เวลาถักเก็บ (นาที)
	ก่อนกำจัด		หลังกำจัด	การกำจัด(%)		$\text{Cr}^{3+}/$	$\text{Ni}^{2+}/$					
	$\text{Cr}^{3+}, \text{Ni}^{2+}$	Cr^{3+}	Ni^{2+}	Cr^{3+}	Ni^{2+}	Iron _{เหลือง}	Iron _{เหลือง}					
14.4	0	-	-	-	-	0	0	ค่า	เหลือง	1.5	-980 บี 4 -250	11
28.8	100	0	0	100	100	14.85	13.15	ค่า	เหลือง	1.5	-742 บี 4 -164	15
14.4	10	0	0	100	100	2.97	2.63	ค่า	เหลือง	1.2	-725 บี 4 - 47	16
14.4	5	0	0	100	100	1.49	1.31	ค่า	เหลือง	1.2	-787 บี 4 -161	15
14.4	1	0	0	100	100	0.297	0.26	ค่า	เหลือง	1.3	-945 บี 4 - 80	15
14.4	0.5	0	0	100	100	0.149	0.13	ค่า	เหลือง	1.3	-830 บี 4 -163	13
14.4	0.1	0	0	100	100	0.028	0.03	ค่า	เหลือง	1.3	-570 บี 4 -183	17

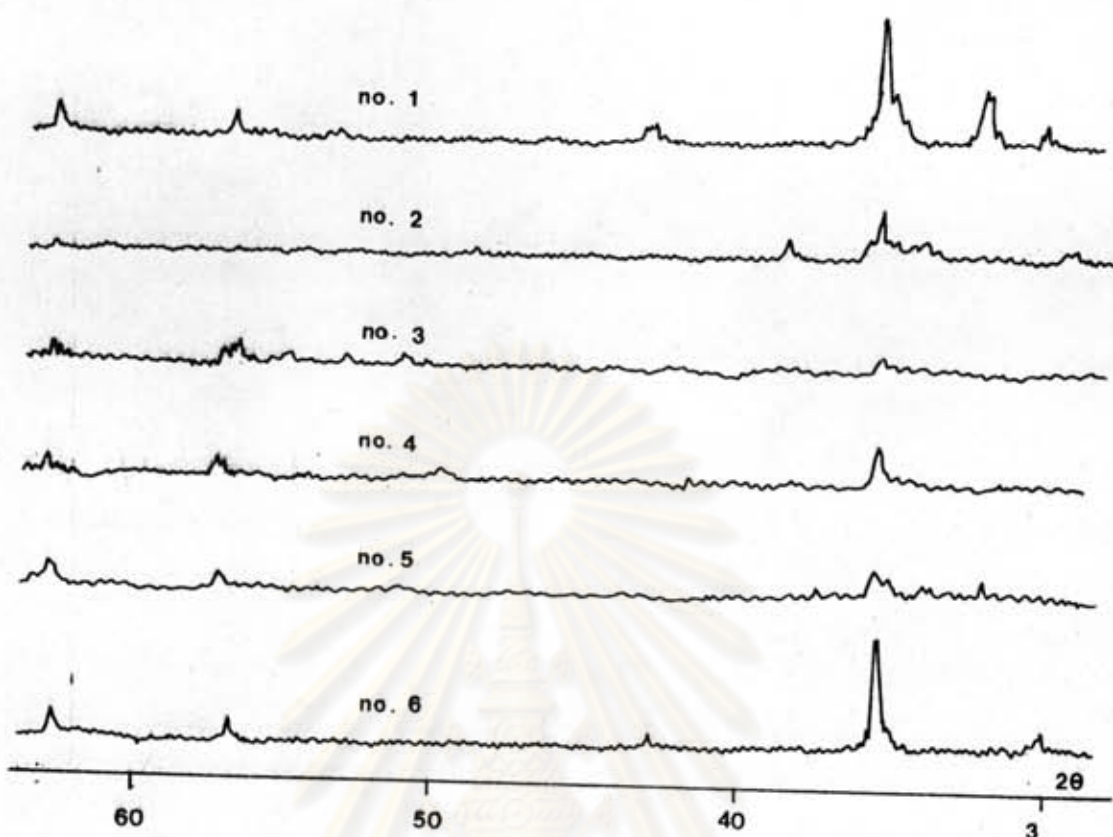
หมายเหตุ เวลาถักเก็บ (retention time) หมายถึง ช่วงเวลาดังนี้แต่จะเริ่มต้นกำบังกิจกรรมกระบวนการที่จัดไว้ก่อนการเบล็อกแปลงของจับพัน

ORP

หมายถึง Oxidation Reduction Potential

ความสูงของผื่นใน X-ray

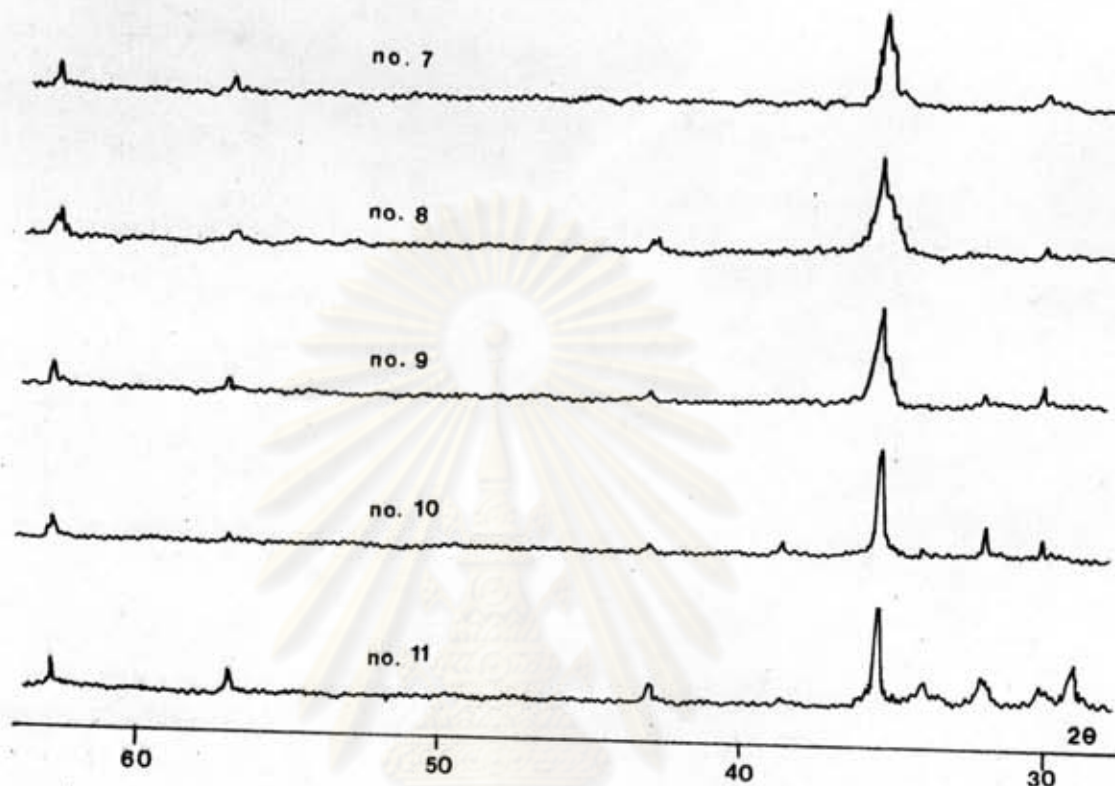
หมายถึง ความสูงของผื่นใน X-ray Diffraction patterns ที่ค่าแพน $2\theta = 35.4$



รูปที่ 4.10 X-ray Diffraction Patterns ของเหล็กอนจาก การกำจัดสารฟลูออเรซเซนต์ ด้วยกระบวนการเผาตากที่อุณหภูมิ 70° ช. ท่อカラส่วนโน้ม ค้างๆ

หมายเหตุ

- | | |
|---|---|
| No. 1 ; $\text{Cr}^{3+}/\text{Iron}_{\text{total}} = 0$, | $\text{Ni}^{2+}/\text{Iron}_{\text{total}} = 0$ |
| No. 2 ; $\text{Cr}^{3+}/\text{Iron}_{\text{total}} = 148.52 \times 10^{-3}$, | $\text{Ni}^{2+}/\text{Iron}_{\text{total}} = 131.54 \times 10^{-3}$ |
| No. 3 ; $\text{Cr}^{3+}/\text{Iron}_{\text{total}} = 118.82 \times 10^{-3}$, | $\text{Ni}^{2+}/\text{Iron}_{\text{total}} = 105.23 \times 10^{-3}$ |
| No. 4 ; $\text{Cr}^{3+}/\text{Iron}_{\text{total}} = 59.41 \times 10^{-3}$, | $\text{Ni}^{2+}/\text{Iron}_{\text{total}} = 52.61 \times 10^{-3}$ |
| No. 5 ; $\text{Cr}^{3+}/\text{Iron}_{\text{total}} = 29.70 \times 10^{-3}$, | $\text{Ni}^{2+}/\text{Iron}_{\text{total}} = 26.31 \times 10^{-3}$ |
| No. 6 ; $\text{Cr}^{3+}/\text{Iron}_{\text{total}} = 14.85 \times 10^{-3}$, | $\text{Ni}^{2+}/\text{Iron}_{\text{total}} = 13.15 \times 10^{-3}$ |

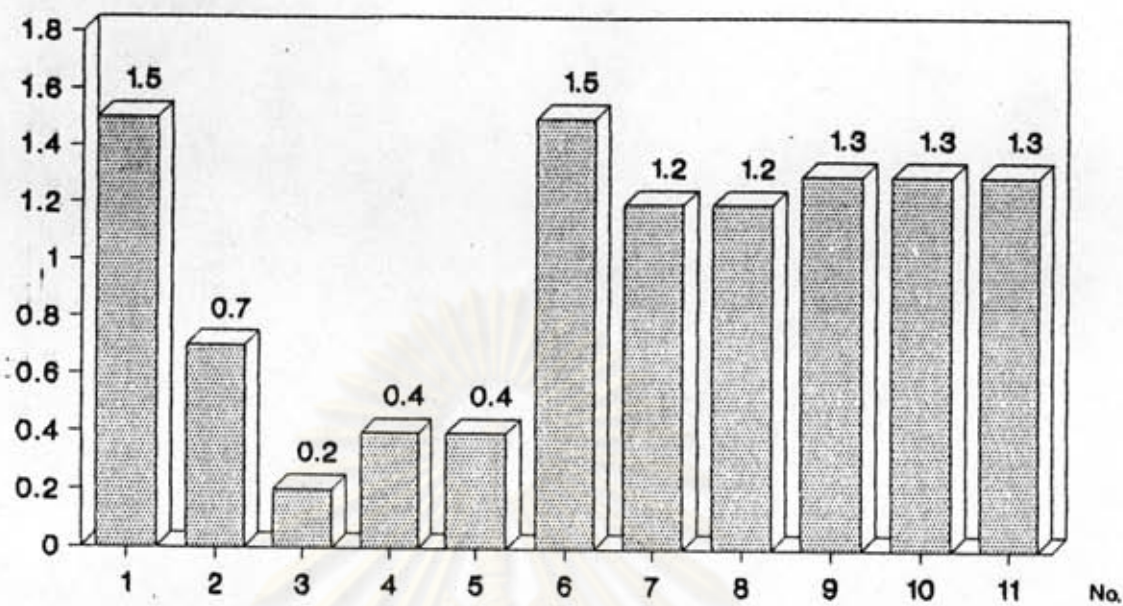


รูปที่ 4.10 X-ray Diffraction Patterns ของตัวอย่างจากการกำจัดสารผสมนิเกิลและ
ไอโรมีน ด้วยกระบวนการเพอร์ไทร์ทฟล็อกซ์ 10 อัตราส่วน 70° ช. ท่อค่าส่วนในอ
ดัง ๆ

หมายเหตุ

No. 7 ; $\text{Cr}^{3+}/\text{Iron}_{\text{total}} = 2.97 \times 10^{-3}$	$\text{Ni}^{2+}/\text{Iron}_{\text{total}} = 2.63 \times 10^{-3}$
No. 8 ; $\text{Cr}^{3+}/\text{Iron}_{\text{total}} = 1.49 \times 10^{-3}$	$\text{Ni}^{2+}/\text{Iron}_{\text{total}} = 1.31 \times 10^{-3}$
No. 9 ; $\text{Cr}^{3+}/\text{Iron}_{\text{total}} = 0.297 \times 10^{-3}$	$\text{Ni}^{2+}/\text{Iron}_{\text{total}} = 0.26 \times 10^{-3}$
No. 10 ; $\text{Cr}^{3+}/\text{Iron}_{\text{total}} = 0.149 \times 10^{-3}$	$\text{Ni}^{2+}/\text{Iron}_{\text{total}} = 0.13 \times 10^{-3}$
No. 11 ; $\text{Cr}^{3+}/\text{Iron}_{\text{total}} = 0.028 \times 10^{-3}$	$\text{Ni}^{2+}/\text{Iron}_{\text{total}} = 0.03 \times 10^{-3}$

Peak Height (unit)

รูปที่ 4.11 ความสูงของ X-ray Diffraction Peak ที่ค่าแหน่ง $2\theta = 35.4$

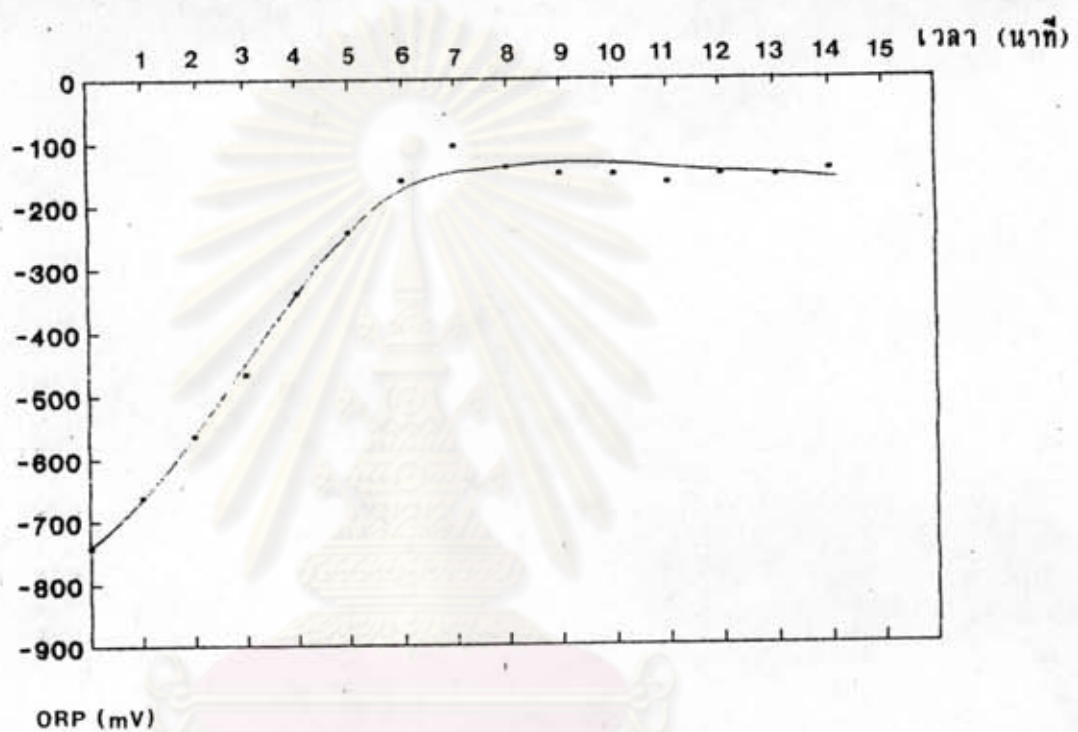
ของต่อกันจากการก่อจัลสารผสมนิเกิลและไอโอดีนด้วยกระบวนการเผาไว้ใน
ที่ฟาร์ช 10 อุณหภูมิ 70° ศ. ทั้งหมดส่วนโน้มต่าง ๆ

หมายเหตุ

No. 1 ; $\text{Cr}^{3+}/\text{Iron}_{\text{total}} = 0$,	$\text{Ni}^{2+}/\text{Iron}_{\text{total}} = 0$
No. 2 ; $\text{Cr}^{3+}/\text{Iron}_{\text{total}} = 148.52 \times 10^{-3}$,	$\text{Ni}^{2+}/\text{Iron}_{\text{total}} = 131.54 \times 10^{-3}$
No. 3 ; $\text{Cr}^{3+}/\text{Iron}_{\text{total}} = 118.82 \times 10^{-3}$,	$\text{Ni}^{2+}/\text{Iron}_{\text{total}} = 105.23 \times 10^{-3}$
No. 4 ; $\text{Cr}^{3+}/\text{Iron}_{\text{total}} = 59.41 \times 10^{-3}$,	$\text{Ni}^{2+}/\text{Iron}_{\text{total}} = 52.61 \times 10^{-3}$
No. 5 ; $\text{Cr}^{3+}/\text{Iron}_{\text{total}} = 29.70 \times 10^{-3}$,	$\text{Ni}^{2+}/\text{Iron}_{\text{total}} = 26.31 \times 10^{-3}$
No. 6 ; $\text{Cr}^{3+}/\text{Iron}_{\text{total}} = 14.85 \times 10^{-3}$,	$\text{Ni}^{2+}/\text{Iron}_{\text{total}} = 13.15 \times 10^{-3}$
No. 7 ; $\text{Cr}^{3+}/\text{Iron}_{\text{total}} = 2.97 \times 10^{-3}$,	$\text{Ni}^{2+}/\text{Iron}_{\text{total}} = 2.63 \times 10^{-3}$
No. 8 ; $\text{Cr}^{3+}/\text{Iron}_{\text{total}} = 1.49 \times 10^{-3}$,	$\text{Ni}^{2+}/\text{Iron}_{\text{total}} = 1.31 \times 10^{-3}$
No. 9 ; $\text{Cr}^{3+}/\text{Iron}_{\text{total}} = 0.297 \times 10^{-3}$,	$\text{Ni}^{2+}/\text{Iron}_{\text{total}} = 0.26 \times 10^{-3}$
No. 10 ; $\text{Cr}^{3+}/\text{Iron}_{\text{total}} = 0.149 \times 10^{-3}$,	$\text{Ni}^{2+}/\text{Iron}_{\text{total}} = 0.13 \times 10^{-3}$
No. 11 ; $\text{Cr}^{3+}/\text{Iron}_{\text{total}} = 0.028 \times 10^{-3}$,	$\text{Ni}^{2+}/\text{Iron}_{\text{total}} = 0.03 \times 10^{-3}$

ตารางที่ 4.8 ก้ารเปลี่ยนแปลงค่า Oxidation Reduction Potential ของก้ารกำจัดสารพิษโคโรเนียมและนิเกล 100 มก./ลบ.ม. ที่พื้นที่ 10,
อุณหภูมิ 70 องศาเซลเซียส, $\text{FeSO}_4 \cdot 7\text{H}_2\text{O}$ 28.8 กรัม

Time (min)	ORP (mV)	pH
0	-742	10.29
1	-663	10.28
2	-565	10.23
3	-468	10.20
4	-340	10.20
5	-242	10.18
6	-160	10.15
7	-105	10.13
8	-140	10.14
9	-150	10.15
10	-152	10.15
11	-165	10.16
12	-152	10.15
13	-155	10.15
14	-145	10.14
15	-164	10.15



รูปที่ 4.12 ผลของการเปลี่ยนค่า Oxidation Reduction Potential ของการกำจัด
นิเกิลและโคโรเมียม 100 มก./ลบ.dm. ด้วยกระบวนการเพอร์ไทร์
พีเอช 10 อุณหภูมิ 70 °C FeSO₄.7H₂O 14.4 กรัม.

หมายเหตุ Cr³⁺/Iron_{total} = 14.85 X 10⁻³, Ni²⁺/Iron_{total} = 13.15 X 10⁻³

4.5 การศึกษาตัวอย่างน้ำเสียโรงชุบโลหะหนักที่เก็บจากศูนย์บริการกำจัดกากอุตสาหกรรม

ทำการเก็บตัวอย่างน้ำเสียโรงชุบโลหะหนัก จากศูนย์บริการกำจัดกากอุตสาหกรรม ตัวอย่างน้ำเสียโรงชุบโลหะที่ทำการศึกษานี้ 2 ประเภท คือ

1. น้ำเสียโรงชุบโลหะที่ไม่มีไซยาโนค
2. น้ำเสียโรงชุบโลหะที่ มีไซยาโนค

น้ำเสียตัวอย่างทั้ง 2 ประเภท มาวิเคราะห์ทางนิคและปริมาณโลหะหนักที่คาดว่า มีในน้ำเสีย เช่น โคโรเนียม, นิเกล, ทองแดง, แมงกานิส, สังกะสี, ตะกั่ว, เหล็ก, และ แอดเมียม โดยวิธีวิเคราะห์ Atomic Absorption Spectroscopy (AAS)

ผลการวิเคราะห์ทางนิคและปริมาณโลหะหนักในน้ำเสียโรงชุบโลหะทั้ง 2 ประเภท แสดงใน ตารางที่ 4.9 ผลการวิเคราะห์โดย AAS พบว่า

1. ตัวอย่างน้ำเสียโรงชุบโลหะที่ไม่มีไซยาโนค (ค่าพื้นฐานได้ 6.1) มีปริมาณโลหะหนัก โคโรเนียม 337.5 มก./ลบ.dm., นิเกล 213.4 มก./ลบ.dm., มีเหล็กสูงถึง 1595 มก./ลบ.dm. และโลหะหนักอื่น ๆ น้ำเสียตัวอย่างนี้มีโลหะหนักรวมทั้งสิ้น 2349.8 มก./ลบ.dm. น้ำเสียนี้จะก่อนลีดก่อนคลายลีดในเบล็คประมาณ 3 ใน 4 ของปริมาณครึ่งหนึ่ง

เนื่องจากการค่าวนวัฒนาปริมาณ $\text{FeSO}_4 \cdot 7\text{H}_2\text{O}$ ที่เหมาะสมในการกำจัดโคโรเนียมและนิเกล ในกรณีที่น้ำเสียนี้แต่โคโรเนียมและนิเกลเท่านั้น โดยใช้อัตราส่วนน้ำมันที่เหมาะสมจากหัวข้อ 4.4 ได้ปริมาณ $\text{FeSO}_4 \cdot 7\text{H}_2\text{O}$ เท่ากับ 111.28 กรัม ต่อน้ำเสียปริมาตร 1000 ลูกบาศก์เมตร เมตร

2. ตัวอย่างน้ำเสียโรงชุบโลหะที่ มีไซยาโนค (ค่าพื้นฐานได้ 3.4) มีปริมาณโลหะหนัก โคโรเนียม 42.5 มก./ลบ.dm., นิเกล 19.3 มก./ลบ.dm., มีสังกะสีสูงถึง 296.3 มก./ลบ.dm., มีเหล็ก 181.0 มก./ลบ.dm. และโลหะหนักอื่นๆ น้ำเสียตัวอย่างนี้มีโลหะหนักรวมทั้งสิ้น 361.9 มก./ลบ.dm. ตัวอย่างน้ำเสียนี้มีสีเขียวเข้ม

เนื่องจากการค่าวนวัฒนาปริมาณ $\text{FeSO}_4 \cdot 7\text{H}_2\text{O}$ ที่เหมาะสมในการกำจัดโคโรเนียมและนิเกล ในกรณีที่น้ำเสียนี้แต่โคโรเนียมและนิเกลเท่านั้น โดยใช้อัตราส่วนน้ำมันที่เหมาะสมจากหัวข้อ 4.4 ได้ปริมาณ $\text{FeSO}_4 \cdot 7\text{H}_2\text{O}$ เท่ากับ 54.84 กรัม ต่อน้ำเสียปริมาตร 1000 ลูกบาศก์เมตร เมตร

ตารางที่ 4.9 ชนิดและปริมาณยาโภชนาณ ไน้ำเสือโรงชุมโภชนาณที่มีใช้ยาในครรค
และน้ำเสือโรงชุมโภชนาณที่ไม่มีใช้ยาในครรค เก็บจากศูนย์บริการกำจัดภัย

โภชนาณ	น้ำเสือที่ไม่มีใช้ยาในครรค	น้ำเสือที่มีใช้ยาในครรค
	มก./ลบ.คม.	มก./ลบ.คม.
โคโรเนียม	337.5	42.5
นิเกล	213.4	19.3
ทองแดง	25.0	19.6
แมงกานีส	5.7	3.1
สังกะสี	171.3	296.3
ตะกั่ว	1.9	0
เหล็ก	1595.3	181.0
แคลโนเมียม	0	0
รวม	2349.8	561.9

ศูนย์วิทยทรัพยากร
จุฬาลงกรณ์มหาวิทยาลัย

4.6 การศึกษาการกำจัดโคโรเนียลและนิเกิลในน้ำเสียโรงชุบโอลูห์นักที่เก็บจากศูนย์บริการกำจัดกากอุตสาหกรรม (ไม่มีใช้อาไมด์)

การศึกษาการกำจัดโคโรเนียลและนิเกิลในน้ำเสียโรงชุบโอลูห์ที่ไม่มีใช้อาไมด์ โดยใช้เงอนไขที่เหมาะสมจาก ข้อ 4.3 คือ เงื่อนไขที่ พีเอช 10 อุณหภูมิ 70 องศาเซลเซียส และใช้อัตราส่วนโนลที่เหมาะสมจาก ข้อ 4.4 ในการคำนวนหาปริมาณ $\text{FeSO}_4 \cdot 7\text{H}_2\text{O}$ (กรัม) ที่เหมาะสมในการกำจัด โคโรเนียล 337.5 มก./ลบ.คม. และนิเกิล 213.4 มก./ลบ.คม. คือ $\text{FeSO}_4 \cdot 7\text{H}_2\text{O}$ 111.28 กรัม ต่อน้ำเสีย 1000 มิลลิลิตร

แต่น้ำเสียต้องอย่างนี้มีโอลูห์นักอ่อน ๆ นอกเหนือจาก โคโรเนียลและ นิเกิล เช่น กองดอง, 莽草酸, สังกะสี, ตะไคร้, เหล็ก รวมมีโอลูห์นักทั้งสิ้น 2349.8 มก./ลบ.คม. ทำให้ไม่สามารถใช้ $\text{FeSO}_4 \cdot 7\text{H}_2\text{O}$ 111.28 กรัม ต่อน้ำเสีย 1000 มิลลิลิตร ในการกำจัดน้ำเสียดังกล่าว เนื่องจากกระบวนการเพอร์ไอกลาร์มาร์ก่อจัดโอลูห์นักที่กล่าวมาได้ทุกตัว

จึงทดลองหาอัตราส่วนโนลที่เหมาะสมในการบำบัดน้ำเสียต้องอย่างนี้ โดยให้ปริมาณ $\text{FeSO}_4 \cdot 7\text{H}_2\text{O}$ คงที่ คือ 14.4 กรัม และทำการแปลงปริมาณน้ำเสียโรงชุบโอลูห์นัก โดยใช้ปริมาณน้ำเสีย 20, 25, 30, 35, 40, 50 มิลลิลิตร เจือจางกับน้ำกลันจนปริมาณ เป็น 800 มิลลิลิตร ทำการทดลองกำจัดน้ำเสียที่ พีเอช 10 อุณหภูมิ 70 องศาเซลเซียส ทำการทดลองกำจัดช้า 3 ครั้งและเฉลี่ยค่าที่ทดลอง ผลการทดลองสรุปในตารางที่ 4.10

จากการทดลอง พบว่า อะกอนเฟอร์ไอกลาร์กได้ดีเมื่อน้ำเสียนำ 20 มิลลิลิตร ผสมกับน้ำกลันที่ให้มีปริมาณ 800 มิลลิลิตร ใช้ $\text{FeSO}_4 \cdot 7\text{H}_2\text{O}$ 14.4 กรัม เมื่อน้ำมี คำนวนหาอัตราส่วนโนลที่พอดีมากที่สุดกับต้องอย่างน้ำเสียต้องอย่างนี้ นี้ค่าดังนี้

$$\text{Cr}^{3+}/\text{Iron}_{\text{เฉลี่ย}} = 2.51 \times 10^{-3} \text{ และ } \text{Ni}^{2+}/\text{Iron}_{\text{เฉลี่ย}} = 1.4 \times 10^{-3}$$

อัตราส่วนโนลในน้ำเสียโรงชุบโอลูห์นักมีค่าต่ำกว่าน้ำเสียสังเคราะห์ เกิดจากการที่น้ำโอลูห์นักตัวอ่อนเป็นมากด้วยทำให้ $\text{FeSO}_4 \cdot 7\text{H}_2\text{O}$ 14.4 กรัม เกิดอะกอนเฟอร์ไอกับโอลูห์นักตัวอ่อนด้วย ประสิทธิภาพในการกำจัดโคโรเนียล 100 % ประสิทธิภาพในการกำจัดนิเกิล 100 % อะกอนที่ได้มีความเป็นสารแม่เหล็กด้วยตั้งประกอบในพื้น X-ray Diffraction Patterns รูปที่ 4.13 และรูปที่ 4.14 ต้องอย่างผลการศึกษาการเปลี่ยนแปลงค่า ORP ที่อัตราส่วนโนล ตั้งกล่าวแสดงไว้ในตารางที่ 4.11 รูปที่ 4.15

ตารางที่ 4.10 สรุปผลการศึกษาอัตราส่วนโนมา $\text{Cr}^{3+}/\text{Iron}_{\text{total}}$ และ $\text{Ni}^{2+}/\text{Iron}_{\text{total}}$ ที่พิสูจน์ในกระบวนการกำจัดโคโรเนียมและนีเกลี่
ในน้ำเสื้อโรงไฟฟ้าในน้ำเสื้อในตัวอย่างขนาดการเพอร์ไทร์ พีเอช 10, อุณหภูมิ 70° C , $\text{FeSO}_4 \cdot 7\text{H}_2\text{O}$ 14.4 gm

น้ำเสื้อ (ml)	ความเข้มข้น (มก./ลบ.dm.)				ประสิทธิภาพ การกำจัด (%)	อัตราส่วนโนมา ($\times 10^{-3}$)	X-ray	ORP (มิลลิโวลต์)	เวลาถักเก็บ (นาที)				
	ก่อนกำจัด		หลังกำจัด										
	Cr^{3+}	Ni^{2+}	Cr^{3+}	Ni^{2+}		$\text{Cr}^{3+}/\text{Iron}_{\text{total}}$	$\text{Ni}^{2+}/\text{Iron}_{\text{total}}$						
20	6.75	4.27	0	0	100	100	2.51	1.40	ค่า เหล็ก น้ำเสื้อ	เหล็ก น้ำเสื้อ	1.1	-705 ถึง -350	16
25	8.44	5.34	.05	0	99.41	100	3.13	1.75	ค่า เหล็ก น้ำเสื้อ	เหล็ก น้ำเสื้อ	0.9	-800 ถึง -280	16
30	10.12	6.40	.10	.09	99.01	98.59	3.76	2.11	ค่า เหล็ก น้ำเสื้อ	เหล็ก น้ำเสื้อ	0.9	-548 ถึง -310	13
35	11.81	7.47	.10	.22	99.15	97.05	4.39	2.46	ค่า เหล็ก น้ำเสื้อ	เหล็ก น้ำเสื้อ	0.9	-490 ถึง -335	17
40	13.50	8.54	.15	.22	98.89	97.42	5.01	2.81	ค่า เหล็ก น้ำเสื้อ	เหล็ก น้ำเสื้อ	0.9	-444 ถึง -250	15
50	16.88	10.67	.25	.49	98.51	95.41	6.27	3.51	ค่า เหล็ก น้ำเสื้อ	เหล็ก น้ำเสื้อ	0.3	-735 ถึง -190	17

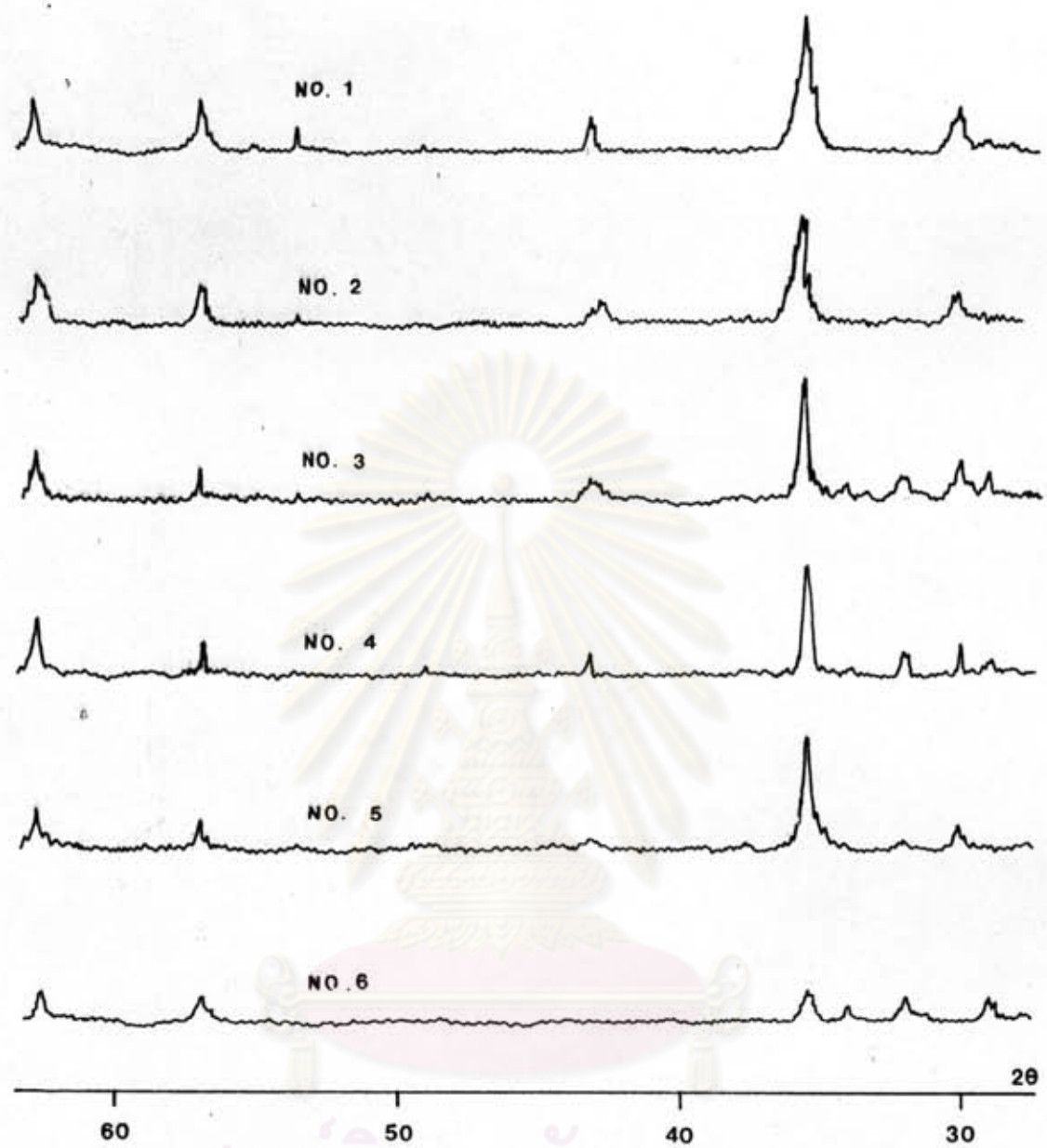
หมายเหตุ เวลาถักเก็บ (retention time) หมายถึง ร่างเวลาที่จำเพาะๆ ของผู้เรียนที่ทำปฏิกริยาอนกรากที่ต้องจุดกําเนิดการเบล็อกแบบบ่องช่องฉันพัฒนา

ORP

หมายถึง Oxidation Reduction Potential

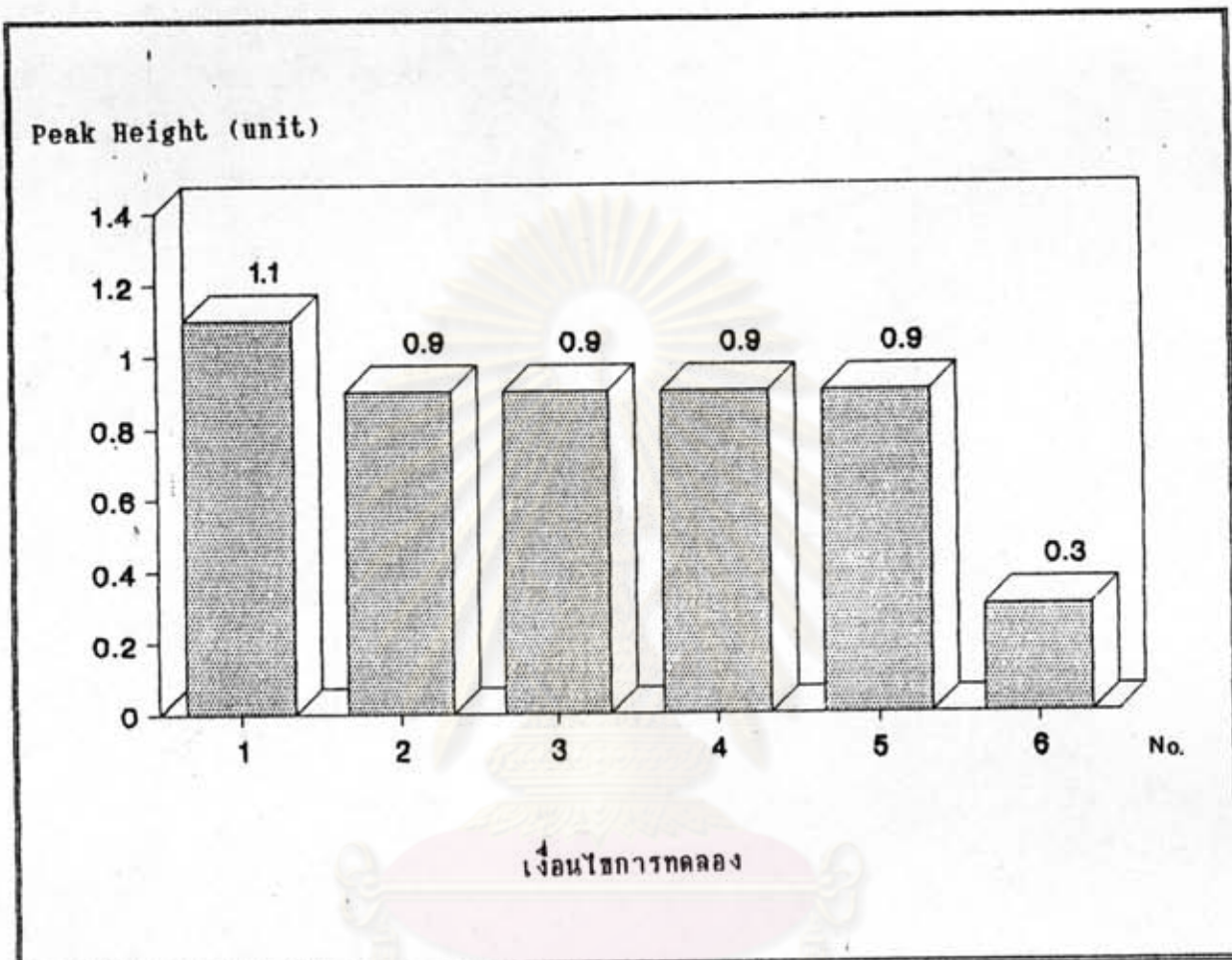
ความสูงของพื้นใน X-ray

หมายถึง ความสูงของพื้นใน X-ray Diffraction patterns ที่ค่าเท่านั้น 20 = 35.4



รูปที่ 4.13 X-ray Diffraction Patterns ของเหล็กจากการกำจัดน้ำเสียที่ไม่มีไซยาไนด์
ที่อัลตราซาวน์ 10 อุตสาหกรรม 70° ๙. ท่อค่าส่วนในแต่ละ

หมายเหตุ No.1 ; $\text{Cr}^{3+}/\text{Iron}_{\text{total}} = 2.51 \times 10^{-3}$, $\text{Ni}^{2+}/\text{Iron}_{\text{total}} = 1.40 \times 10^{-3}$
 No.2 ; $\text{Cr}^{3+}/\text{Iron}_{\text{total}} = 3.13 \times 10^{-3}$, $\text{Ni}^{2+}/\text{Iron}_{\text{total}} = 1.75 \times 10^{-3}$
 No.3 ; $\text{Cr}^{3+}/\text{Iron}_{\text{total}} = 3.76 \times 10^{-3}$, $\text{Ni}^{2+}/\text{Iron}_{\text{total}} = 2.11 \times 10^{-3}$
 No.4 ; $\text{Cr}^{3+}/\text{Iron}_{\text{total}} = 4.39 \times 10^{-3}$, $\text{Ni}^{2+}/\text{Iron}_{\text{total}} = 2.46 \times 10^{-3}$
 No.5 ; $\text{Cr}^{3+}/\text{Iron}_{\text{total}} = 5.01 \times 10^{-3}$, $\text{Ni}^{2+}/\text{Iron}_{\text{total}} = 2.81 \times 10^{-3}$
 No.6 ; $\text{Cr}^{3+}/\text{Iron}_{\text{total}} = 6.27 \times 10^{-3}$, $\text{Ni}^{2+}/\text{Iron}_{\text{total}} = 3.51 \times 10^{-3}$

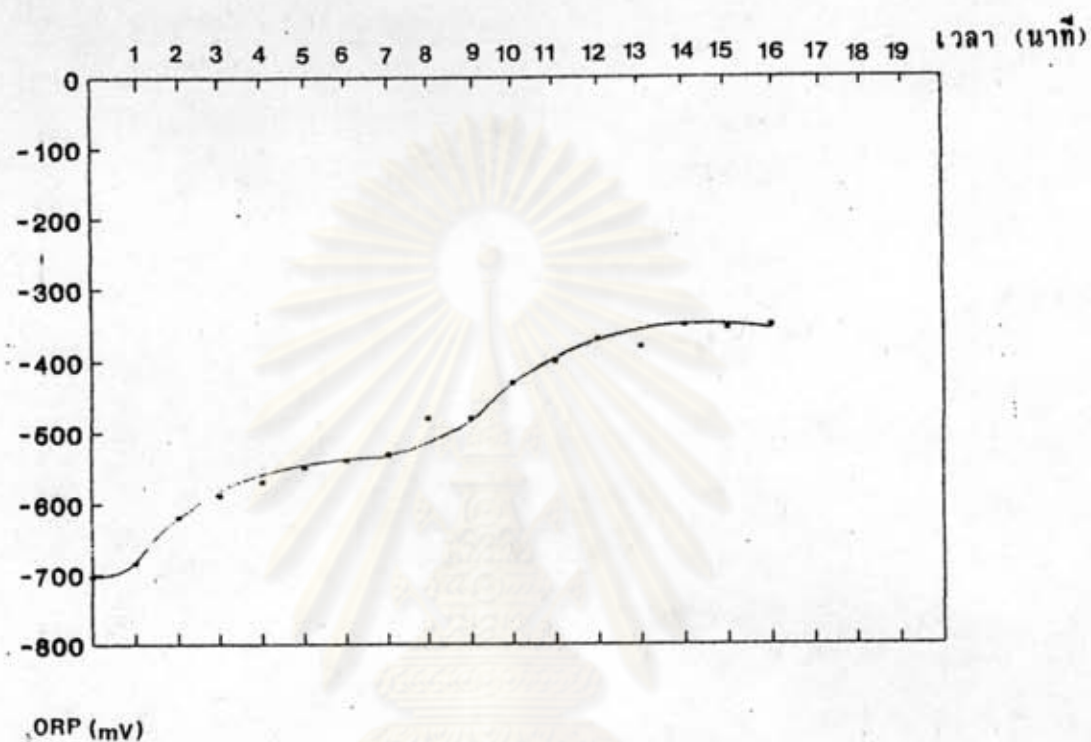


ຮັບ 4.14 ຄວາມສູງຂອງ X-ray Diffraction Peak ທີ່ຄໍາແຫຼ່ງ $2\theta = 35.4$
ຂອງທະກອນຈາກການກໍາຈັດນ້ຳເສື້ອທີ່ໄຟມື້ໄຊອາໄນ໌ ທີ່ອັດຕາສ່ວນໄນລຄ່າງ ລາຍ

ໜ້າຍເຫັນ No.1 ; $\text{Cr}^{3+}/\text{Iron}_{\text{total}} = 2.51 \times 10^{-3}$, $\text{Ni}^{2+}/\text{Iron}_{\text{total}} = 1.40 \times 10^{-3}$
 No.2 ; $\text{Cr}^{3+}/\text{Iron}_{\text{total}} = 3.13 \times 10^{-3}$, $\text{Ni}^{2+}/\text{Iron}_{\text{total}} = 1.75 \times 10^{-3}$
 No.3 ; $\text{Cr}^{3+}/\text{Iron}_{\text{total}} = 3.76 \times 10^{-3}$, $\text{Ni}^{2+}/\text{Iron}_{\text{total}} = 2.11 \times 10^{-3}$
 No.4 ; $\text{Cr}^{3+}/\text{Iron}_{\text{total}} = 4.39 \times 10^{-3}$, $\text{Ni}^{2+}/\text{Iron}_{\text{total}} = 2.46 \times 10^{-3}$
 No.5 ; $\text{Cr}^{3+}/\text{Iron}_{\text{total}} = 5.01 \times 10^{-3}$, $\text{Ni}^{2+}/\text{Iron}_{\text{total}} = 2.81 \times 10^{-3}$
 No.6 ; $\text{Cr}^{3+}/\text{Iron}_{\text{total}} = 6.27 \times 10^{-3}$, $\text{Ni}^{2+}/\text{Iron}_{\text{total}} = 3.51 \times 10^{-3}$

ตารางที่ 4.11 การเปลี่ยนแปลงค่า Oxidation Reduction Potential ของการกำจัด
น้ำเสียจากโรงชุบโลหะที่ไม่เป็นเป็นด้วยไชโคไนค์โอดน้ำเสียนา
20 มิลลิลิตร ที่พีเอช 10, อุณหภูมิ 70 องศาเซลเซียส,
 $\text{FeSO}_4 \cdot 7\text{H}_2\text{O}$ 14.4 กรัม

Time (min)	ORP (mV)	pH
0	-705	10.30
1	-685	10.30
2	-620	10.29
3	-590	10.26
4	-570	10.26
5	-550	10.26
6	-540	10.25
7	-530	10.25
8	-480	10.24
9	-480	10.23
10	-430	10.20
11	-400	10.18
12	-370	10.17
13	-380	10.17
14	-350	10.16
15	-355	10.16
16	-350	10.16



รูปที่ 4.15 แสดง การเปลี่ยนแปลงค่า Oxidation Reduction Potential ของการกำจัด
น้ำเสียโรงไฟฟ้าพลังไอนีซีร์ 20 มิลลิเมตร $\text{FeSO}_4 \cdot 7\text{H}_2\text{O}$ 14.4 กรัม.

หมายเหตุ $\text{Cr}^{3+}/\text{Iron}_{\text{total}} = 2.51 \times 10^{-3}$, $\text{Ni}^{2+}/\text{Iron}_{\text{total}} = 1.4 \times 10^{-3}$

4.7 การศึกษาการกำจัดโคโรเมียมและนิเกิลในน้ำเสียโรงชุบโอลูห์ที่เก็บจากสูบนิรภัยการกำจัดกากอุตสาหกรรม (มีไซค์ไนด์)

การศึกษาการกำจัดโคโรเมียมและนิเกิลในน้ำเสียโรงชุบโอลูห์ที่มีไซค์ไนด์ ได้ใช้เงื่อนไขที่เหมาะสมจาก ข้อ 4.3 คือ เงื่อนไขที่ พีเอช 10 อุณหภูมิ 70 องศาเซลเซียส และใช้อัตราส่วนโน้มที่เหมาะสมจาก ข้อ 4.4 ในการค่านวนหารปริมาณ $\text{FeSO}_4 \cdot 7\text{H}_2\text{O}$ (กรัม) ที่เหมาะสมในการกำจัด โคโรเมียม 42.5 มก./ลบ.คม. และนิเกิล 19.3 มก./ลบ.คม. คือ $\text{FeSO}_4 \cdot 7\text{H}_2\text{O}$ 54.84 กรัม ต่อน้ำเสีย 1000 มิลลิลิตร

แต่น้ำเสียตัวอย่างนี้มีโอลูห์ที่น้อย ฯ นอกเหนือจาก โคโรเมียมและ นิเกิล เช่น ก่องแครง, แมงกานีส, สังกะสี, ละติ่ง, เหล็ก รวมมีโอลูห์ทั้งสิ้น 561.9 มก./ลบ.คม. ทำให้ไม่สามารถใช้ $\text{FeSO}_4 \cdot 7\text{H}_2\text{O}$ 54.84 กรัม ต่อน้ำเสีย 1000 มิลลิลิตร ในการกำจัดน้ำเสียดังกล่าว เนื่องจากกระบวนการเพอร์ไบร์ทสามารถกำจัดโอลูห์ที่กล่าวมาได้ทุกด้วย

จึงทดลองหาอัตราส่วนโน้มที่เหมาะสมในการนำบัคหน้าเสียตัวอย่างนี้ โดยให้ปริมาณ $\text{FeSO}_4 \cdot 7\text{H}_2\text{O}$ คงที่ คือ 14.4 กรัม และทำการแปลงปริมาณน้ำเสียโรงชุบโอลูห์ที่ ได้ใช้ปริมาณน้ำเสีย 120, 125, 150, 175, 200 มิลลิลิตร เจือจางกับน้ำกลั่นจนปริมาณเป็น 800 มิลลิลิตร ทำการทดลองกำจัดน้ำเสียที่ พีเอช 10 อุณหภูมิ 70 องศาเซลเซียส ทำการทดลองกำจัดชั้น 3 ครั้งและเฉลี่ยค่าที่ทดลอง ผลการทดลองสรุปในตารางที่ 4.12

จากการทดลอง พบว่า ตะกอนเพอร์ไบร์ทเกิดได้เมื่อน้ำหน้าเสียมาก 120 มิลลิลิตร ผสมกับน้ำกลั่นทำให้มีปริมาณ 800 มิลลิลิตร ใช้ $\text{FeSO}_4 \cdot 7\text{H}_2\text{O}$ 14.4 กรัม เมื่อนำมาค่านวนหารอัตราส่วนโน้มที่เหมาะสมที่สุดกับตัวอย่างน้ำเสียตัวอย่างนี้ มีค่าดังนี้

$$\text{Cr}^{3+}/\text{Iron}_{\text{total}} = 1.8 \times 10^{-3} \text{ และ } \text{Ni}^{2+}/\text{Iron}_{\text{total}} = 0.76 \times 10^{-3}$$

อัตราส่วนโน้มในน้ำเสียโรงชุบโอลูห์ที่ค่าต่ำกว่าน้ำเสียสังเคราะห์ เกิดจากการที่มีโอลูห์ที่ตัวอื่นปนมาด้วยทำให้ $\text{FeSO}_4 \cdot 7\text{H}_2\text{O}$ 14.4 กรัม เกิดตะกอนเพอร์ไบร์ทกับโอลูห์ที่ตัวอื่นด้วย ประสิทธิภาพในการกำจัดโคโรเมียม 100 % ประสิทธิภาพในการกำจัดนิเกิล 98.27 % ตะกอนที่ได้มีความเป็นสารแม่เหล็กด้วยตั้งประกอบในพื้น X-ray Diffraction Patterns รูปที่ 4.16 และรูปที่ 4.17 ตัวอย่างผลการศึกษาการเปลี่ยนแปลงค่า ORP ที่อัตราส่วนโน้มดังกล่าวแสดงไว้ในตารางที่ 4.13 รูปที่ 4.17

ตารางที่ 4.12 สรุปผลการศึกษาอัตราส่วน ions $\text{Cr}^{3+}/\text{Iron}_{\text{total}}$ และ $\text{Ni}^{2+}/\text{Iron}_{\text{total}}$ ที่พิสูจน์ในการกำจัดโคโรเนียมและนิกเกิล
ในน้ำเสือกรองชุบอลูมิเนียมโดยใช้รากไนต์ด้วยกระบวนการเพอร์ไทร์ ที่เขส 10, อุณหภูมิ 70° C , $\text{FeSO}_4 \cdot 7\text{H}_2\text{O}$ 14.4 g

น้ำเสีย (ml)	ความเข้มข้น (มก./ลบ.dm.)				ประสิทธิภาพ การกำจัด(%)	อัตราส่วน ions ($\times 10^{-3}$)		ลักษณะ ตะกอน	ลักษณะ ตะกอน	ความสูง ของพื้นที่ใน X-ray	ORP (มิลลิโวลาท์)	เวลาถักเก็บ (นาที)	
	ก่อนกำจัด		หลังกำจัด			$\text{Cr}^{3+}/$ $\text{Iron}_{\text{total}}$	$\text{Ni}^{2+}/$ $\text{Iron}_{\text{total}}$						
	Cr^{3+}	Ni^{2+}	Cr^{3+}	Ni^{2+}		$\text{Cr}^{3+}/$ $\text{Iron}_{\text{total}}$	$\text{Ni}^{2+}/$ $\text{Iron}_{\text{total}}$						
120	5.10	2.31	0	.04	100	98.27	1.87	.76	ค่า	หนา	1.1	-610 ถึง -154	16
125	5.31	2.41	0	.13	100	94.60	1.97	.79	ค่า	หนา	0.9	-622 ถึง -142	15
150	6.38	2.89	0	.18	100	93.77	2.37	.95	ค่า	เบา	0.9	-452 ถึง -141	19
175	7.44	3.37	0	.20	100	94.07	2.76	1.11	น้ำตาล	เบา	0.9	-425 ถึง -120	19
200	8.50	3.85	0	.27	100	92.99	3.16	1.27	น้ำตาล	เบา	0.9	-685 ถึง -151	19

หมายเหตุ เวลาถักเก็บ (retention time) หมายถึง ช่วงเวลาตั้งแต่จุดเริ่มต้นกำจัดกิจกรรมกระบวนการทั้งจุดที่มีการเปลี่ยนแปลงของอัตราผัน

ORP

หมายถึง Oxidation Reduction Potential

ความสูงของพื้นที่ใน X-ray

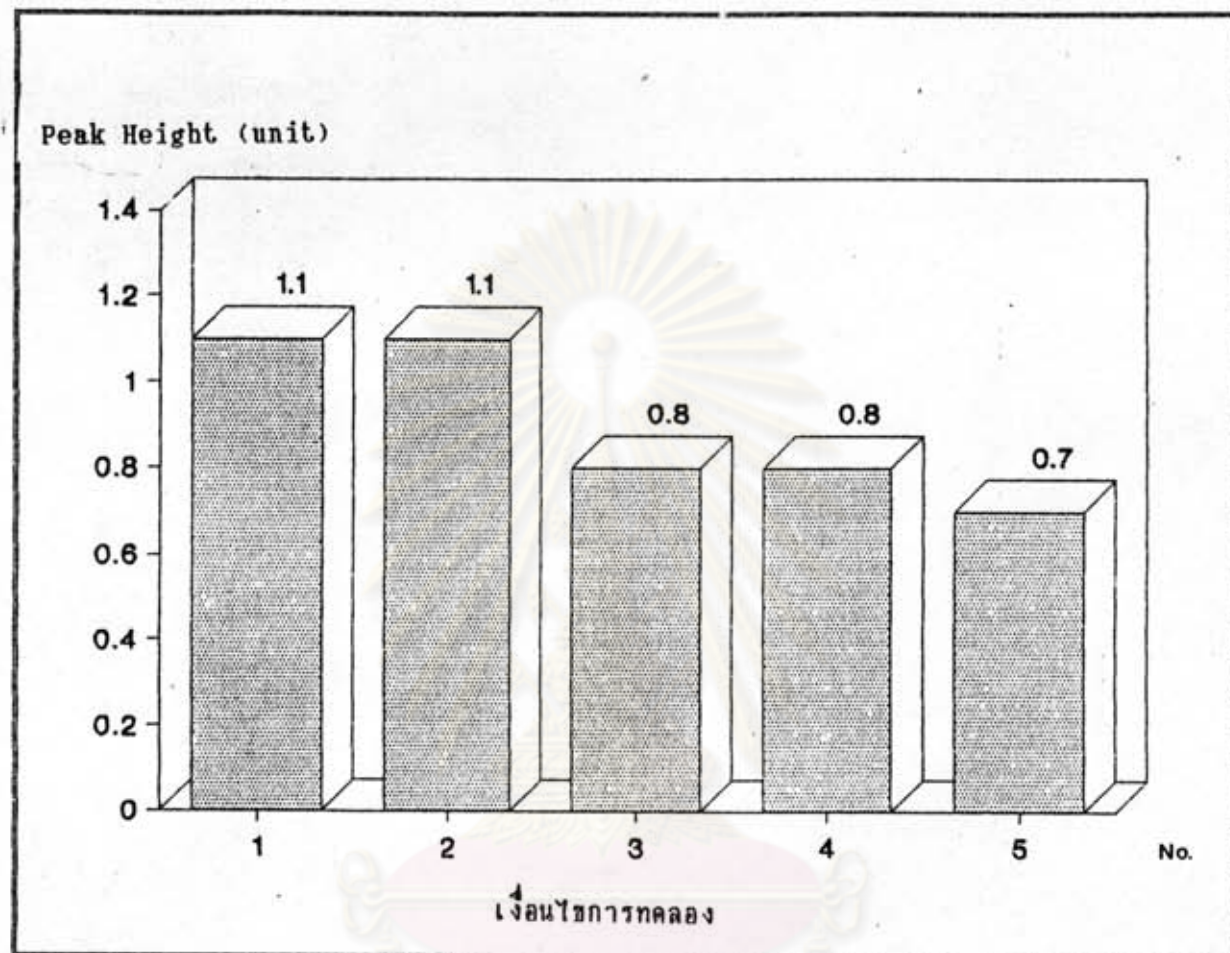
หมายถึง ความสูงของพื้นที่ใน X-ray Diffraction patterns ที่ต่ำเท่านั้น $2\theta = 35.4$





รูปที่ 4.16 X-ray Diffraction Patterns ของเหล็กจากการกำจัดน้ำเสียที่มีไซโคโนด
พิเศษ 10 อุณหภูมิ 70° ค. ทั้งคราส่วนไมล์ต่าง ๆ

หมายเหตุ No.1 ; $\text{Cr}^{3+}/\text{Iron}_{\text{total}} = 1.87 \times 10^{-3}$, $\text{Ni}^{2+}/\text{Iron}_{\text{total}} = 0.76 \times 10^{-3}$
 No.2 ; $\text{Cr}^{3+}/\text{Iron}_{\text{total}} = 1.97 \times 10^{-3}$, $\text{Ni}^{2+}/\text{Iron}_{\text{total}} = 0.79 \times 10^{-3}$
 No.3 ; $\text{Cr}^{3+}/\text{Iron}_{\text{total}} = 2.37 \times 10^{-3}$, $\text{Ni}^{2+}/\text{Iron}_{\text{total}} = 0.95 \times 10^{-3}$
 No.4 ; $\text{Cr}^{3+}/\text{Iron}_{\text{total}} = 2.76 \times 10^{-3}$, $\text{Ni}^{2+}/\text{Iron}_{\text{total}} = 1.11 \times 10^{-3}$
 No.5 ; $\text{Cr}^{3+}/\text{Iron}_{\text{total}} = 3.16 \times 10^{-3}$, $\text{Ni}^{2+}/\text{Iron}_{\text{total}} = 1.27 \times 10^{-3}$

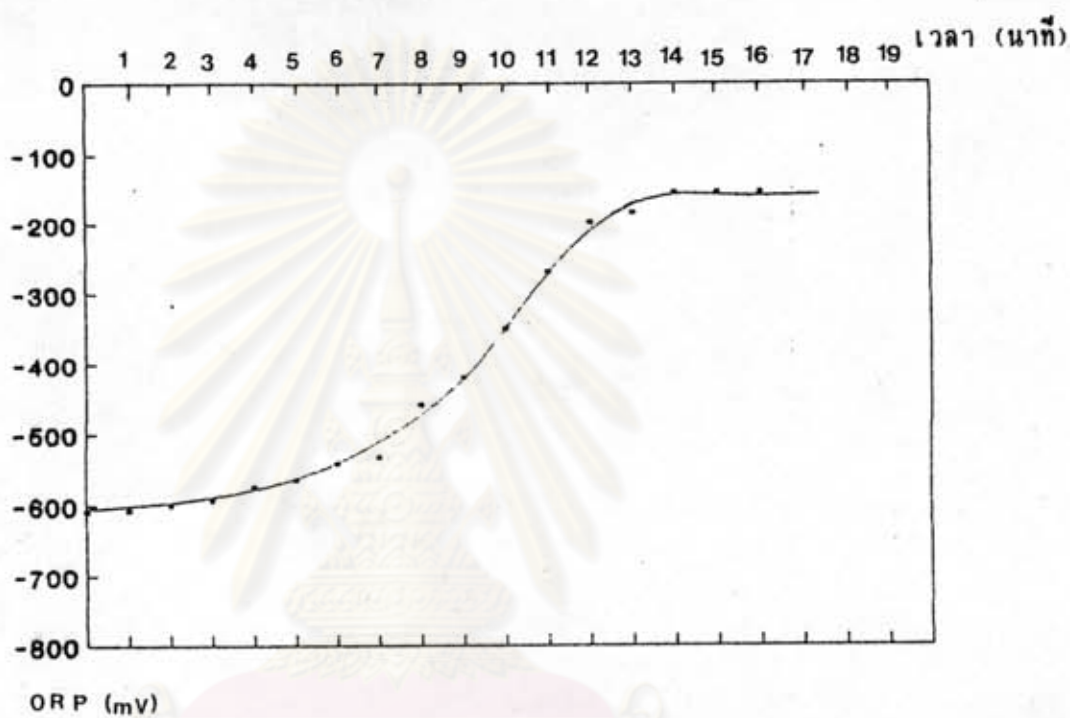


รูปที่ 4.17 ความสูงของ X-ray Diffraction Peak ที่ค่า衍射 $2\theta = 35.4^\circ$
ของหอยกบจากการกำจัดน้ำเสียที่ใช้ยาในดิน ทั้งคราส่วนหอยต่าง ๆ

หมายเหตุ No.1 ; $\text{Cr}^{3+}/\text{Iron}_{\text{total}} = 1.87 \times 10^{-3}$, $\text{Ni}^{2+}/\text{Iron}_{\text{total}} = 0.76 \times 10^{-3}$
 No.2 ; $\text{Cr}^{3+}/\text{Iron}_{\text{total}} = 1.97 \times 10^{-3}$, $\text{Ni}^{2+}/\text{Iron}_{\text{total}} = 0.79 \times 10^{-3}$
 No.3 ; $\text{Cr}^{3+}/\text{Iron}_{\text{total}} = 2.37 \times 10^{-3}$, $\text{Ni}^{2+}/\text{Iron}_{\text{total}} = 0.95 \times 10^{-3}$
 No.4 ; $\text{Cr}^{3+}/\text{Iron}_{\text{total}} = 2.76 \times 10^{-3}$, $\text{Ni}^{2+}/\text{Iron}_{\text{total}} = 1.11 \times 10^{-3}$
 No.5 ; $\text{Cr}^{3+}/\text{Iron}_{\text{total}} = 3.16 \times 10^{-3}$, $\text{Ni}^{2+}/\text{Iron}_{\text{total}} = 1.27 \times 10^{-3}$

ตารางที่ 4.13 การเปลี่ยนแปลงค่า Oxidation Reduction Potential ของกราก้าร์ด
น้ำเสียจากโรงชุบโลหะที่ป่นเป็นผงด้วยไฮดรอเจน ทดสอบน้ำเสียนา
120 มิลลิลิตร ที่พีเอช 10, อุณหภูมิ 70 องศาเซลเซียส,
 $\text{FeSO}_4 \cdot 7\text{H}_2\text{O}$ 14.4 กรัม

Time (min)	ORP (mV)	pH
0	-610	10.15
1	-608	10.15
2	-600	10.15
3	-595	10.12
4	-575	10.10
5	-565	10.10
6	-542	10.07
7	-533	10.05
8	-460	10.00
9	-420	10.01
10	-350	10.01
11	-270	9.95
12	-198	9.98
13	-185	9.94
14	-155	9.90
15	-155	9.87
16	-154	9.88



รูปที่ 4.18 แสดงการเปลี่ยนแปลงค่า Oxidation Reduction Potential ของการกำจัด
น้ำเสียโรงไฟฟ้าหอด้วยโซเดียมไชโรไนด์ 120 มิลลิกรัม $\text{FeSO}_4 \cdot 7\text{H}_2\text{O}$ 14.4 กรัม.

หมายเหตุ $\text{Cr}^{3+}/\text{Iron}_{\text{total}} = 1.8 \times 10^{-3}$, $\text{Ni}^{2+}/\text{Iron}_{\text{total}} = 0.76 \times 10^{-3}$

4.8 การศึกษาความเสี่ยงของกากดองที่สั่งเคราะห์ได้จากการน้ำฝน

ผลการศึกษาความเสี่ยงของกากดองที่สั่งเคราะห์ได้จากการน้ำฝนที่วิธี leaching test ทดสอบเวลา 3, 4, 5, 5.8 เวลา 6, 24 ชั่วโมง และในตารางที่ 4.14 และ 4.15

จากตารางที่ 4.14 พบว่า กากดองเฟอร์ไบร์ทที่สั่งเคราะห์จาก น้ำเสียสั่งเคราะห์ที่มีสารเมียมความเข้มข้น 100 มก./ลบ.ค. มีผลกันต่อลูกนาสก์เคลื่อนไหว น้ำเสียสั่งเคราะห์ที่สารเมียมและนิเกิลความเข้มข้น 100 มก./ลบ.ค. : อัตราส่วน $\text{Cr}^{3+}/\text{Iron}_{\text{เคลื่อน}}$ = 14.85×10^{-3} น้ำเสียกรงชูบโคละที่ไม่มีไซยาโนเจด 20 มล. : อัตราส่วน $\text{Cr}^{3+}/\text{Iron}_{\text{เคลื่อน}}$ = 2.51×10^{-3} น้ำเสียกรงชูบโคละที่มีไซยาโนเจด 120 มล. : อัตราส่วน $\text{Cr}^{3+}/\text{Iron}_{\text{เคลื่อน}}$ = 1.87×10^{-3}

พอกอนเฟอร์ไบร์ทที่สั่งเคราะห์ได้จากการกำจัดโลหะหนักโดยวิธีของกรรมวิธีทางงาน เก็บจากศูนย์บริการกำจัดกากมีความเสี่ยงทุกเงื่อนไขที่ทำการทดสอบ leaching test คือตรวจไม่พบสารเมียมในสารละลาย

จากตารางที่ 4.15 พบว่า กากดองเฟอร์ไบร์ทที่สั่งเคราะห์ที่ พื้นที่ 10 ๗๐°ช. จาก น้ำเสียกรงชูบโคละที่ไม่มีไซยาโนเจด 20 มล. : อัตราส่วน $\text{Ni}^{2+}/\text{Iron}_{\text{เคลื่อน}}$ = 1.4×10^{-3} น้ำเสียกรงชูบโคละที่มีไซยาโนเจด 120 มล. : อัตราส่วน $\text{Ni}^{2+}/\text{Iron}_{\text{เคลื่อน}}$ = 0.76×10^{-3} มีความเสี่ยงทุกเงื่อนไขที่ทำการทดสอบ leaching test คือตรวจไม่พบนิเกิลในสารละลาย น้ำเสียสั่งเคราะห์ที่มีนิเกิลความเข้มข้น 100 มก./ลบ.ค. มีความเสี่ยงที่เวลา 6 ชั่วโมง น้ำเสียสั่งเคราะห์ที่สารเมียมและนิเกิลความเข้มข้น 100 มก./ลบ.ค. อัตราส่วน $\text{Ni}^{2+}/\text{Iron}_{\text{เคลื่อน}} = 13.14 \times 10^{-3}$ ไม่มีความเสี่ยงที่เงื่อนไข พื้นที่ 3 เวลาทดสอบ 24 ชั่วโมง และ กากดองที่ผ่านการกำจัดโลหะหนักโดยวิธีของกรรมวิธีทางงาน เก็บจากศูนย์บริการกำจัดกากมีความเสี่ยงที่เวลาในกระบวนการทดสอบ 6 ชั่วโมง แต่ไม่เสี่ยงเมื่อทำการ leaching test เป็นเวลา 24 ชั่วโมง กล่าวคือ พบว่ามีนิเกิลละลายน้อยกว่า 10 มก./ลบ.ค. ในเวลา 24 ชั่วโมง

ตารางที่ 4.14 สรุปผลความเข้มข้นของโคโรเนียม (มก./ลบ.คม.) ภายหลังการทำ leaching test ของภาคตะกอนภายในตัวเรือนไม้ต่างๆ

pH	hrs	Cr	Ni+Cr	สูนช์ฯ	A	B
3	6	0	0	0	0	0
4	6	0	0	0	0	0
5	6	0	0	0	0	0
5.8	6	0	0	0	0	0
<hr/>						
3	24	0	0	0	0	0
4	24	0	0	0	0	0
5	24	0	0	0	0	0
5.8	24	0	0	0	0	0

Cr ; ภาคตะกอนเฟอร์ไรท์ที่ได้จากการกำจัดน้ำเสียสังเคราะห์โคโรเนียม 100 มก./ลบ.คม.

Ni+Cr; ภาคตะกอนเฟอร์ไรท์ที่ได้จากการกำจัดน้ำเสียสังเคราะห์ที่เกิดและโคโรเนียม

อัตราส่วนโนด $\text{Cr}^{3+}/\text{Iron}_{\text{total}} = 14.85 \times 10^{-3}$, $\text{Ni}^{2+}/\text{Iron}_{\text{total}} = 13.15 \times 10^{-3}$

สูนช์ฯ; ภาคตะกอน จากการกำจัดโลหะหนักในน้ำเสียโดยวิธีภาคตะกอนของการโรงงาน

เก็บจากสูนช์บริการกำจัดกากอุตสาหกรรม

A ; ภาคตะกอนเฟอร์ไรท์ที่ได้จากการล้างเคราะห์น้ำเสียบางชุดโลหะที่ไม่มีใชอยา呢ด

อัตราส่วนโนด $\text{Cr}^{3+}/\text{Iron}_{\text{total}} = 2.51 \times 10^{-3}$, $\text{Ni}^{2+}/\text{Iron}_{\text{total}} = 1.4 \times 10^{-3}$

B ; ภาคตะกอนเฟอร์ไรท์ที่ได้จากการล้างเคราะห์น้ำเสียบางชุดโลหะที่มีใชอยา呢ด

อัตราส่วนโนด $\text{Cr}^{3+}/\text{Iron}_{\text{total}} = 1.8 \times 10^{-3}$, $\text{Ni}^{2+}/\text{Iron}_{\text{total}} = 0.76 \times 10^{-3}$

ตารางที่ 4.15 สรุปผลความเสี่ยงพื้นของนิเกิล (มก./ลบ.คม.)

การหลังการท่า leaching test ของภาคตะกอนภาษาไทยเงื่อนไขต่างๆ

pH	hrs	Ni	Ni+Cr	สูญเสีย	A	B
3	6	.05	0	0	0	0
4	6	0	0	0	0	0
5	6	0	0	0	0	0
5.8	6	0	0	0	0	0
<hr/>						
3	24	.20	10	10	0	0
4	24	.15	0	10	0	0
5	24	.10	0	10	0	0
5.8	24	.10	0	10	0	0

Ni ; ภาคตะกอนเฟอร์ไรท์ที่ได้จากการกำจัดน้ำเสียสังเคราะห์นิเกิล 100 มก./ลบ.คม.

Ni+Cr ; ภาคตะกอนเฟอร์ไรท์ที่ได้จากการกำจัดน้ำเสียสังเคราะห์นิเกิลและโครเมียม

อัตราส่วนโน้ม $\text{Cr}^{3+}/\text{Iron}_{\text{total}} = 14.85 \times 10^{-3}$, $\text{Ni}^{2+}/\text{Iron}_{\text{total}} = 13.15 \times 10^{-3}$

สูญเสีย ; ภาคตะกอน จากการกำจัดโลหะหนักในน้ำเสียโดยวิธีตอกตะกอนของกระบวนการรีดงาน

เก็บจากสูญเสียจากการกำจัดภาคก่อสานหกรณ์

A ; ภาคตะกอนเฟอร์ไรท์ที่ได้จากการล้างเคราะห์น้ำเสียโรงชุบฟลูออฟฟิไซยาโนค์

อัตราส่วนโน้ม $\text{Cr}^{3+}/\text{Iron}_{\text{total}} = 2.51 \times 10^{-3}$, $\text{Ni}^{2+}/\text{Iron}_{\text{total}} = 1.4 \times 10^{-3}$

B ; ภาคตะกอนเฟอร์ไรท์ที่ได้จากการล้างเคราะห์น้ำเสียโรงชุบฟลูออฟฟิไซยาโนค์

อัตราส่วนโน้ม $\text{Cr}^{3+}/\text{Iron}_{\text{total}} = 1.8 \times 10^{-3}$, $\text{Ni}^{2+}/\text{Iron}_{\text{total}} = 0.76 \times 10^{-3}$